

散開星団における Gaia BH・

Gaia NSの力学的捕獲による形成

谷川衝（福井県立大学）

YITP workshop

“Exploring Extreme Transients: Emerging Frontiers and Challenges”

概要

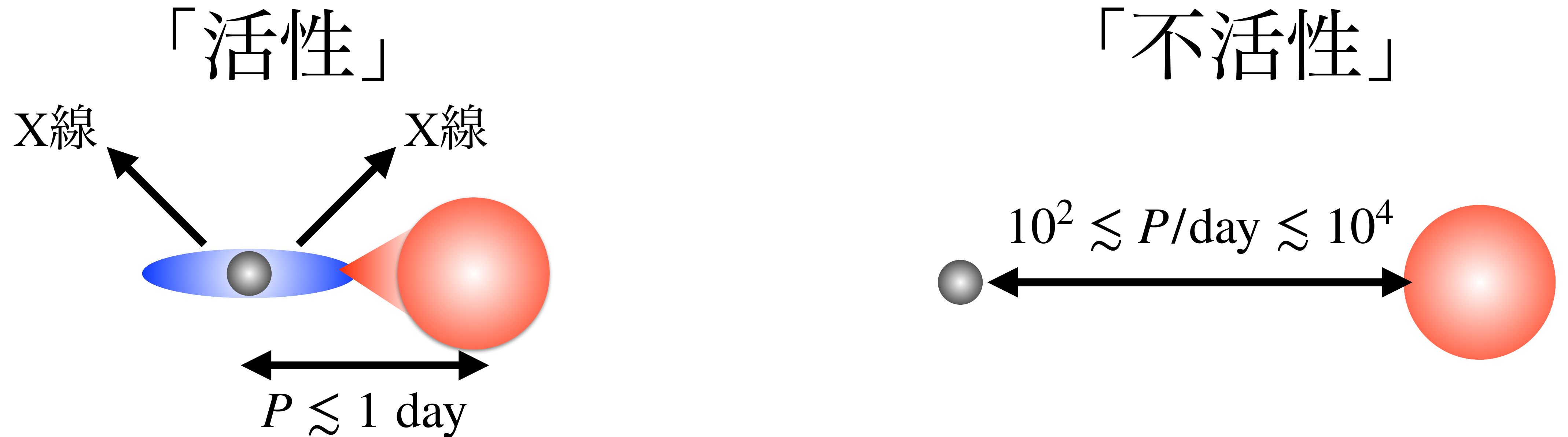
- Gaiaによる「不活性」BH/NS連星の探査の基本
- BH/NS探査のモチベーション
- 不活性BH/NS連星の発見史
- Gaia BH/NSの形成過程の問題

概要

- Gaiaによる「不活性」BH/NS連星の探査の基本
- BH/NS探査のモチベーション
- 不活性BH/NS連星の発見史
- Gaia BH/NSの形成過程の問題

不活性/休眠/非相互作用のBH/NS連星

Inert/dormant/non-interaction BH/NS binary



この発表では「不活性」で統一します。

「活性」BH/NS連星との比較以外では単にBH/NS連星と言います。

探査の原理と Gaia のスペック

- 恒星（光学中心）の周期的な揺らぎの観測

- 連星周期

$$P \sim 120 \text{ day} \left(\frac{D}{1 \text{ kpc}} \right)^{3/2} \left(\frac{a}{1 \text{ mas}} \right)^{3/2} \left(\frac{m_1 + m_2}{10 M_\odot} \right)^{-1/2}$$

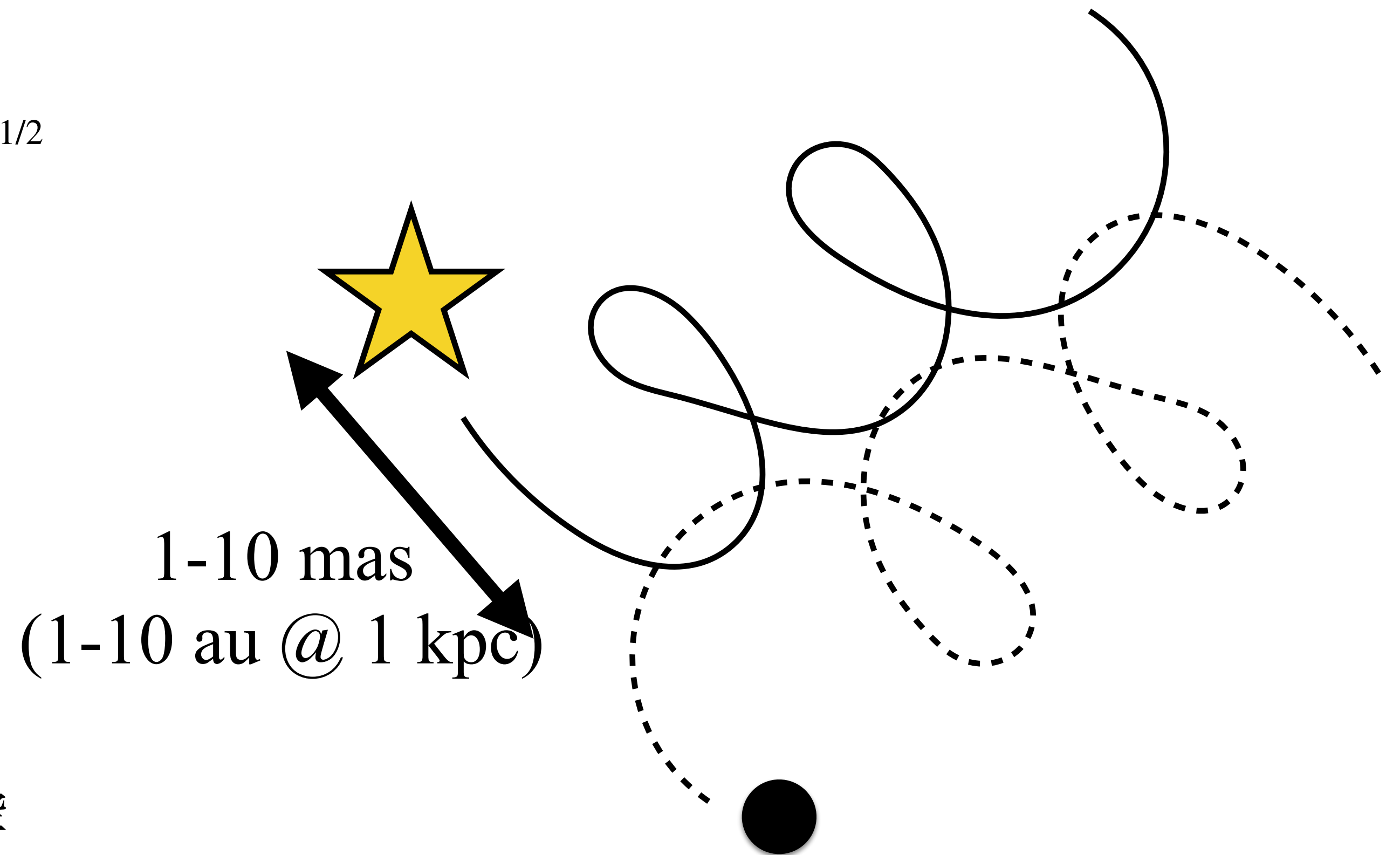
- Gaia スペック

- 空間分解能: $\sim 0.01 \text{ mas}$

- ケイデンス: 60日、運用期間: 10年

- $P = 10^2 - 10^4 \text{ day}$, $D \lesssim 1 \text{ kpc}$ がターゲット

- 運用期間以下の周期であれば、長周期の方が空間分解能が要らないので見つけやすい



Mass function (伴星質量の下限)

- Astrometric mass function

$$f_{m,\text{astro}} = \frac{m_2^3}{(m_1 + m_2)^2} = 1M_{\odot} \left(\frac{a_1}{\text{mas}} \right)^3 \left(\frac{\varpi}{\text{mas}} \right)^{-3} \left(\frac{P}{\text{yr}} \right)^{-2}$$

- a_1 : 見た目の軌道長半径
- ϖ : 年周視差
- P : 連星周期

m_2 の測定には

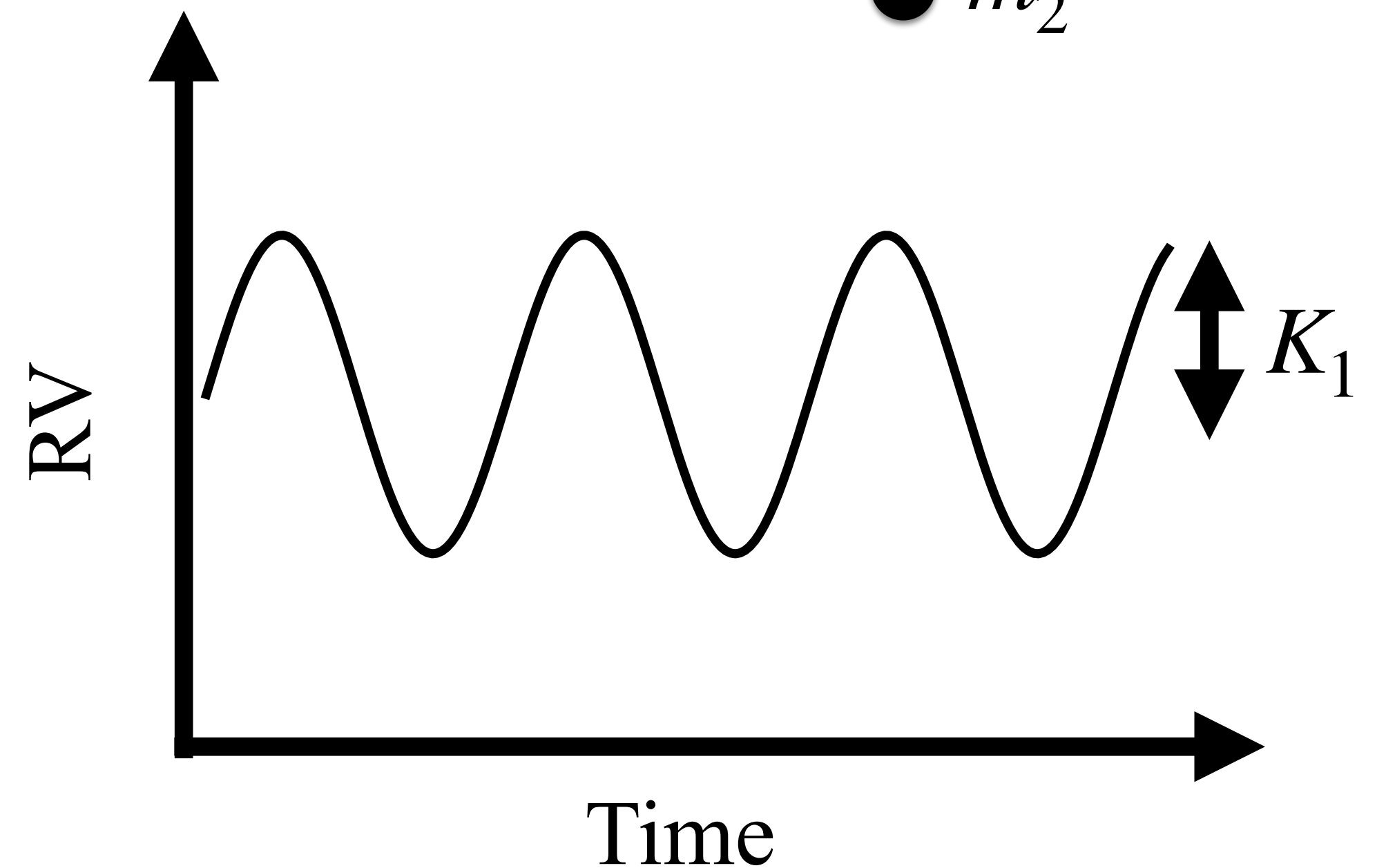
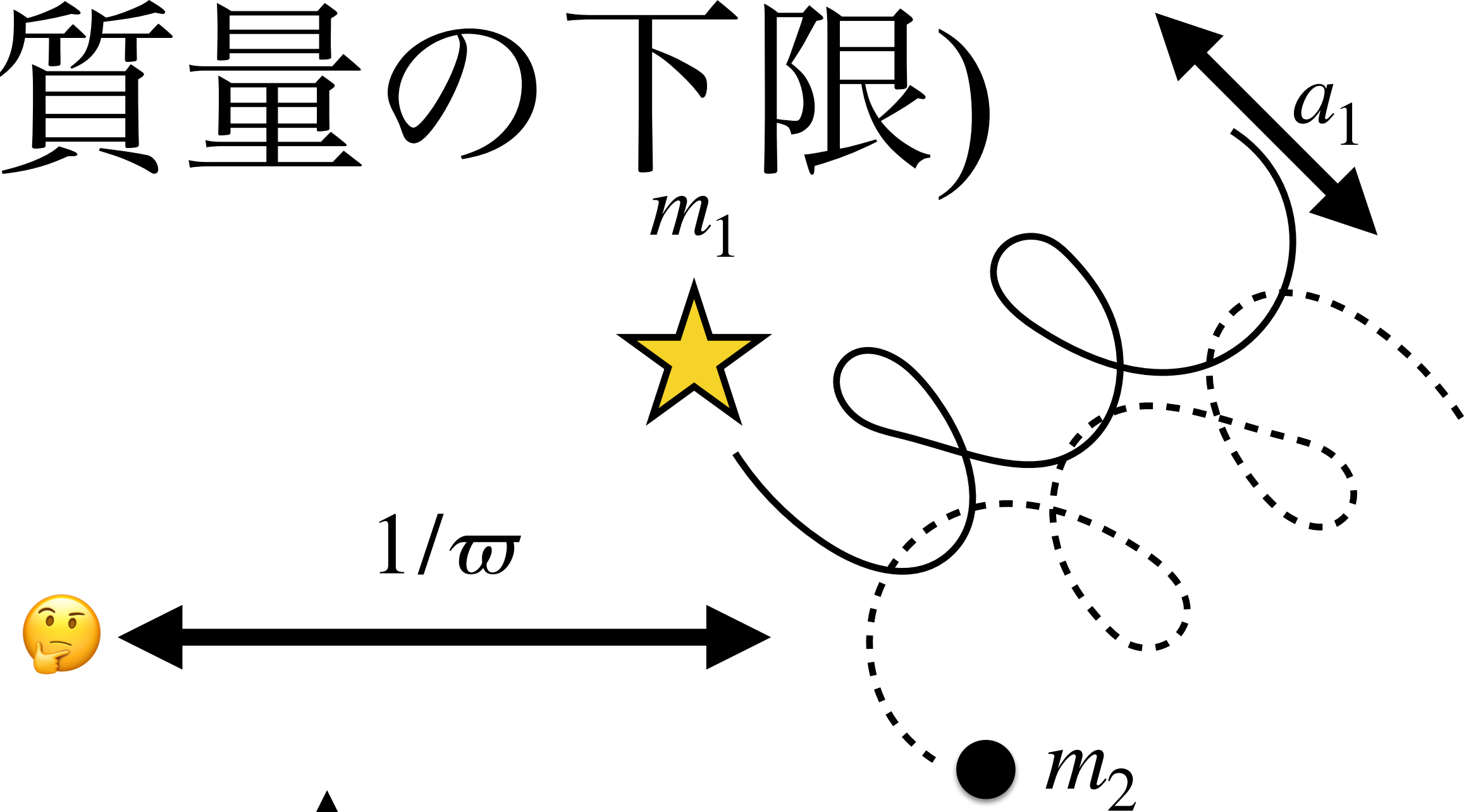
m_1 が必要

- Spectroscopic mass function

$$f_{m,\text{spectro}} = \frac{m_2^3}{(m_1 + m_2)^2} \sin^3 i = 1M_{\odot} \left(\frac{K_1}{30\text{km/s}} \right)^3 \left(\frac{P}{\text{yr}} \right) (1 - e^2)^{3/2}$$

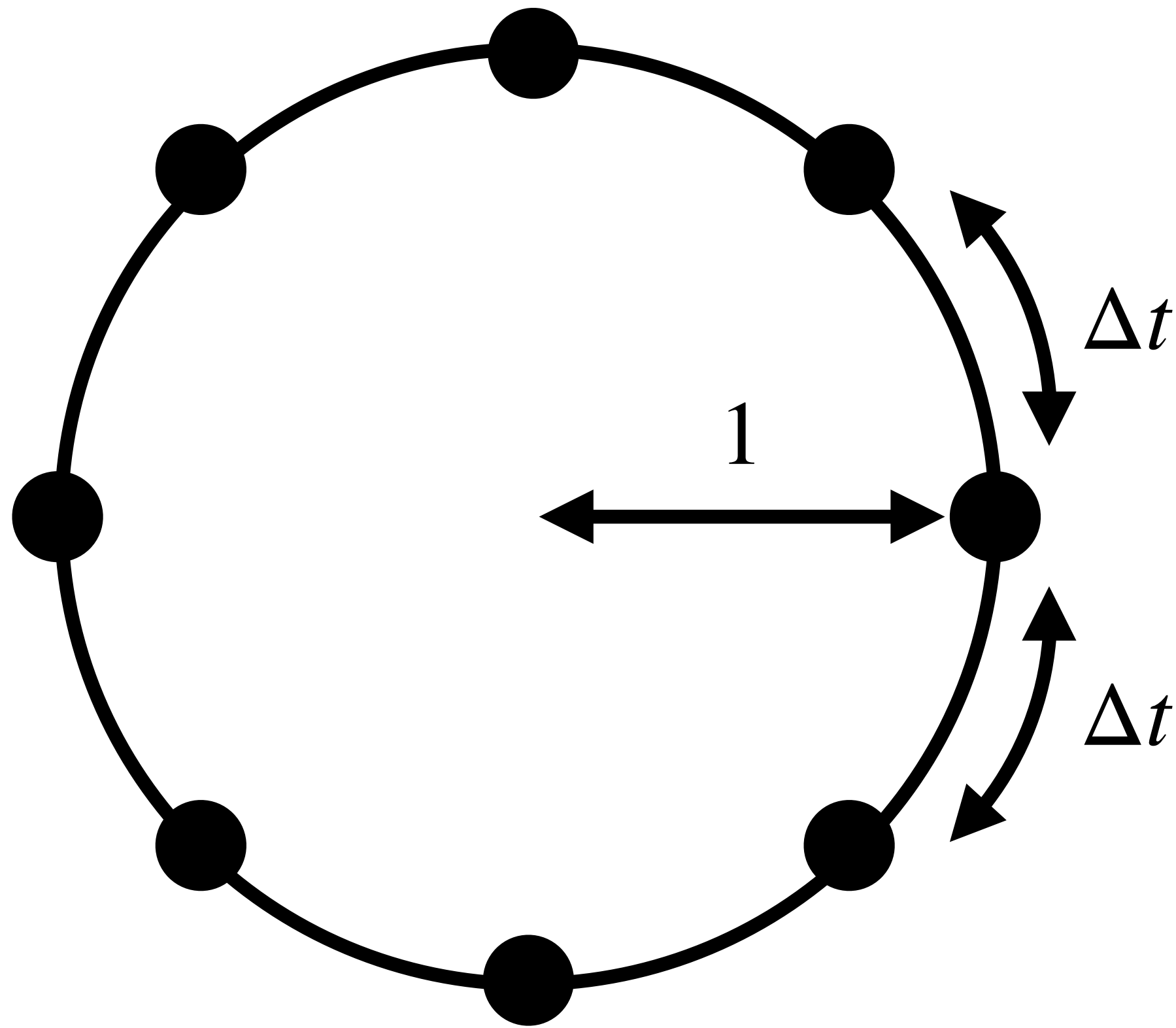
- K_1 : 視線速度の半値幅
- e : 離心率
- i : 軌道傾斜角

m_1 と*i*が必要

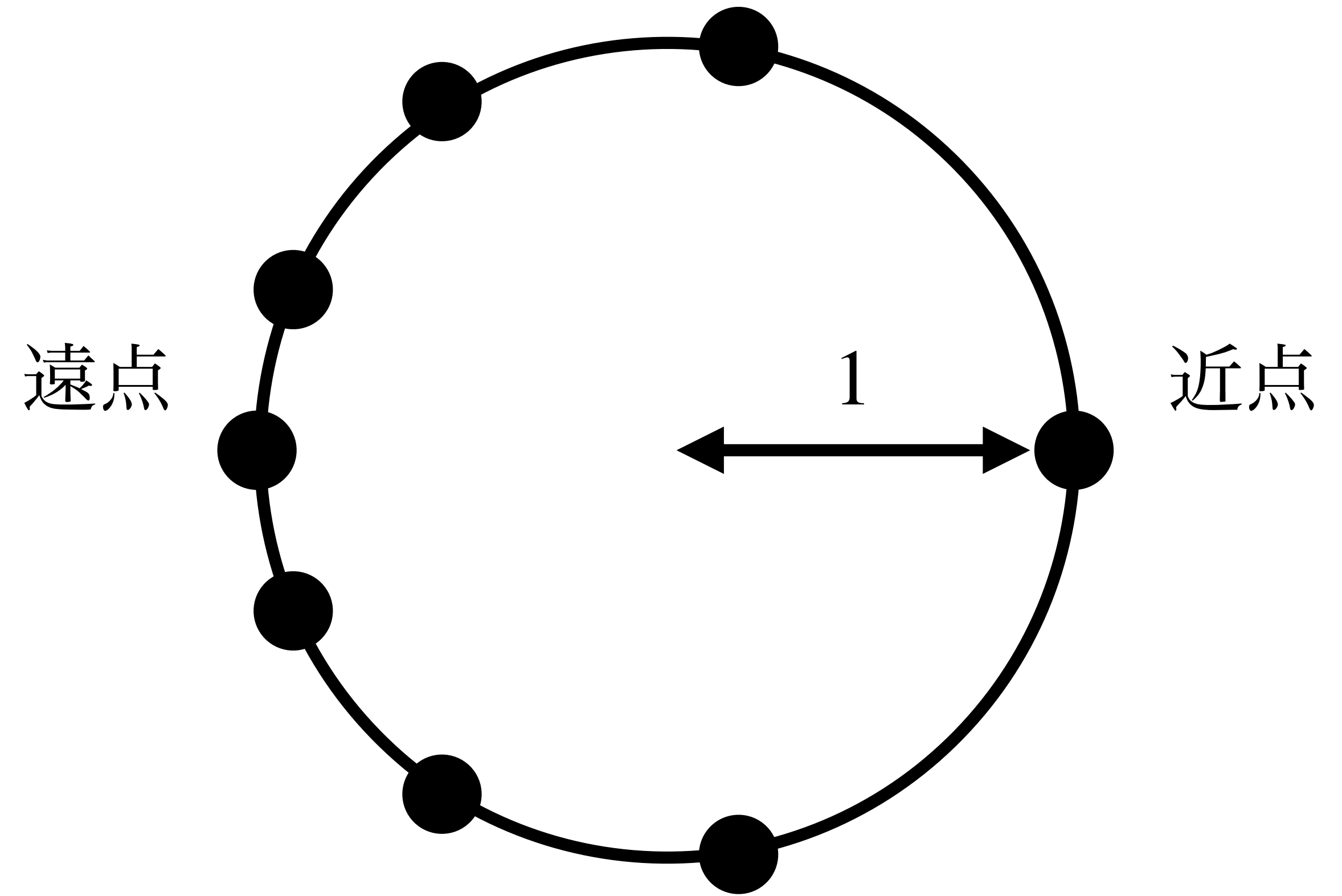


(分光観測と違って) 軌道傾斜角の縮退はない

$$e = 0, i = 0^\circ \implies a_1 = 1$$

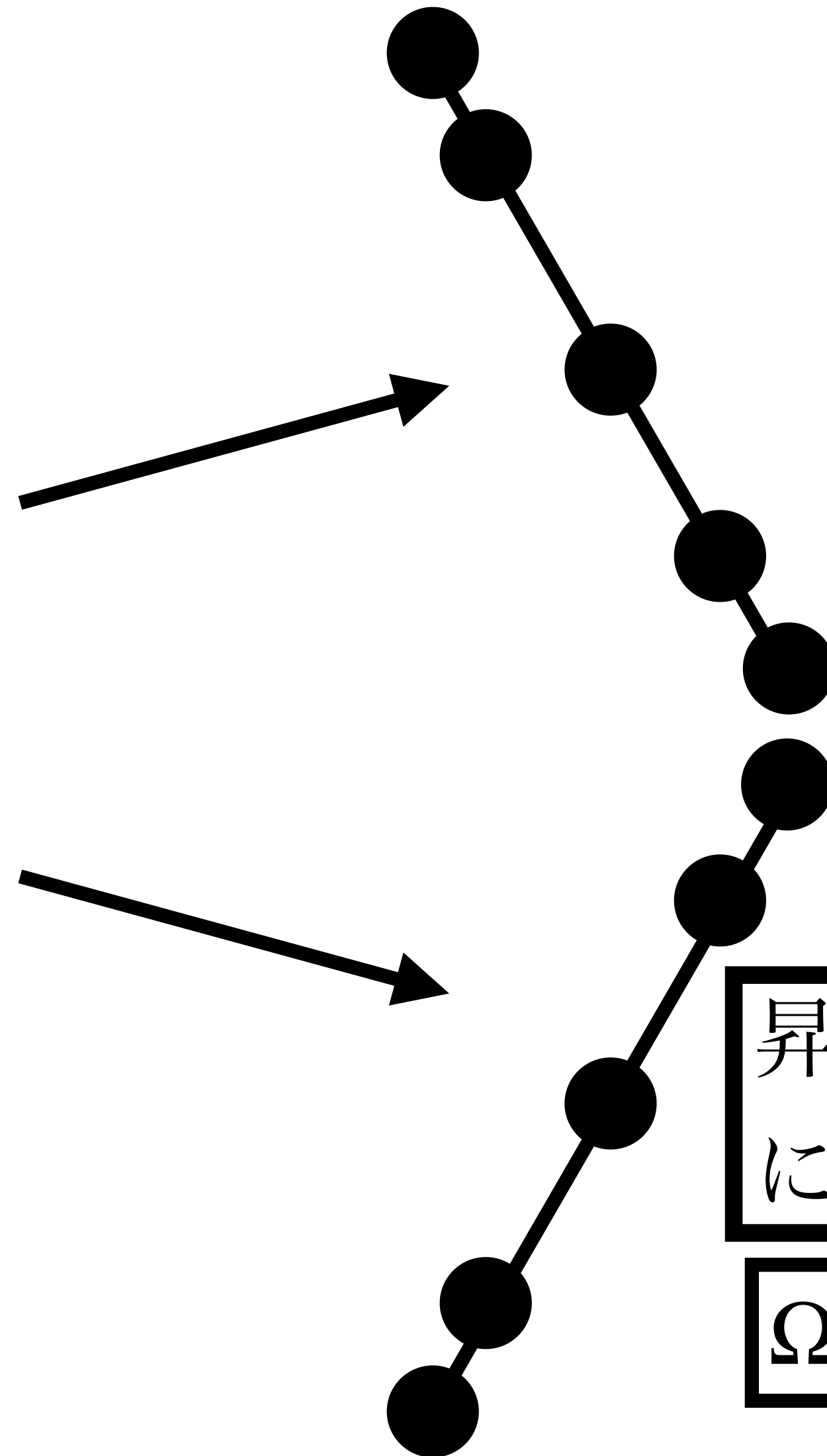
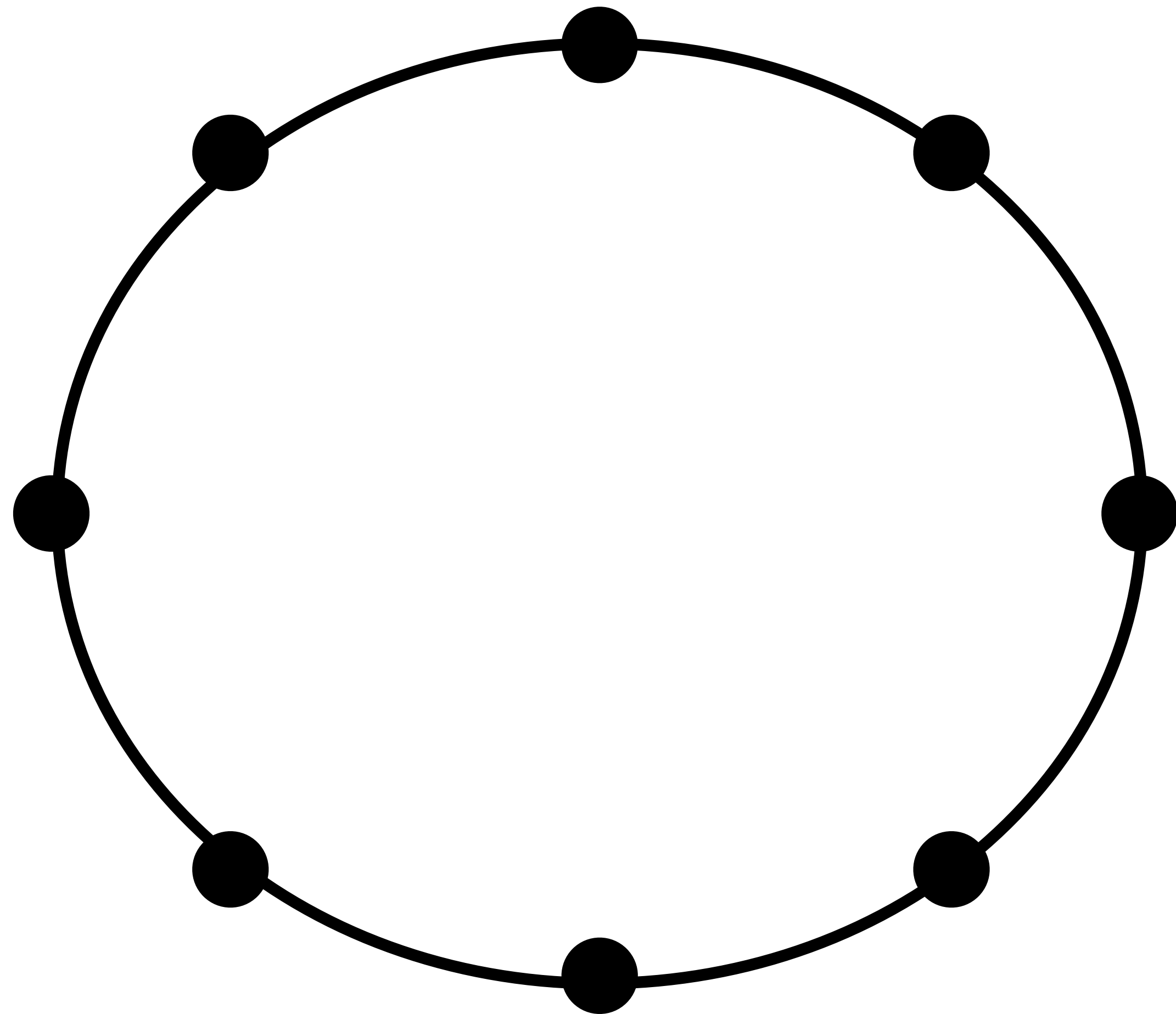


$$e = \sqrt{3}/2, i = 60^\circ \implies a_1 = 2$$



位置天文観測における縮退

$$e = 0, i = 30^\circ$$



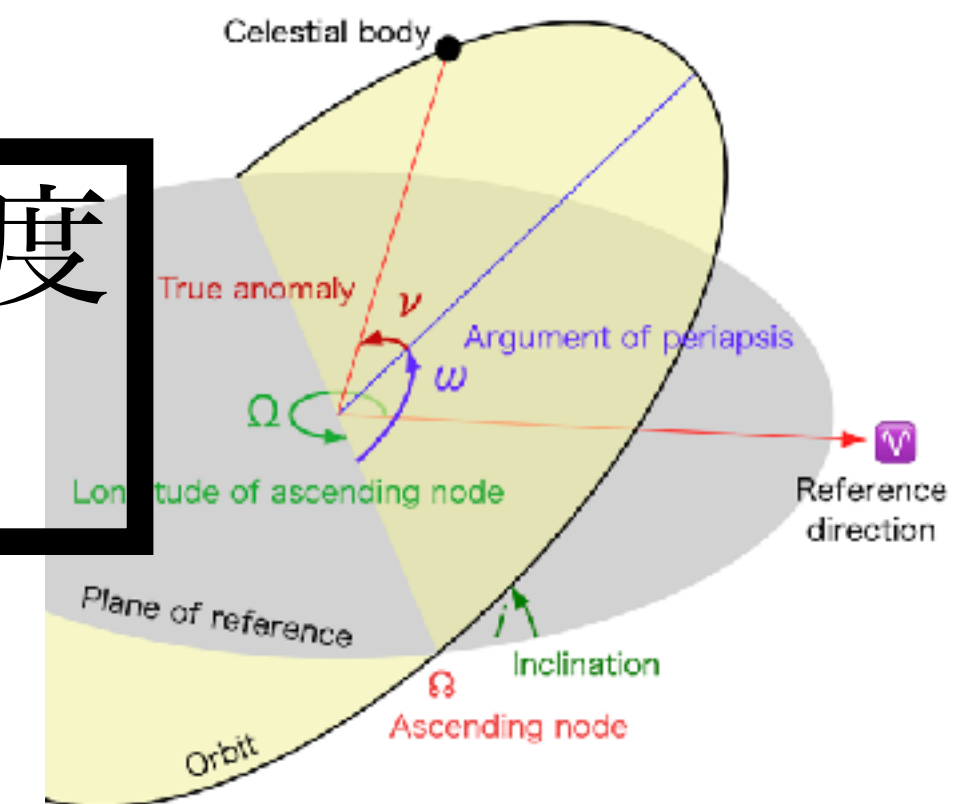
質量決定に
影響なし

Line of sight



昇交点経度
に縮退

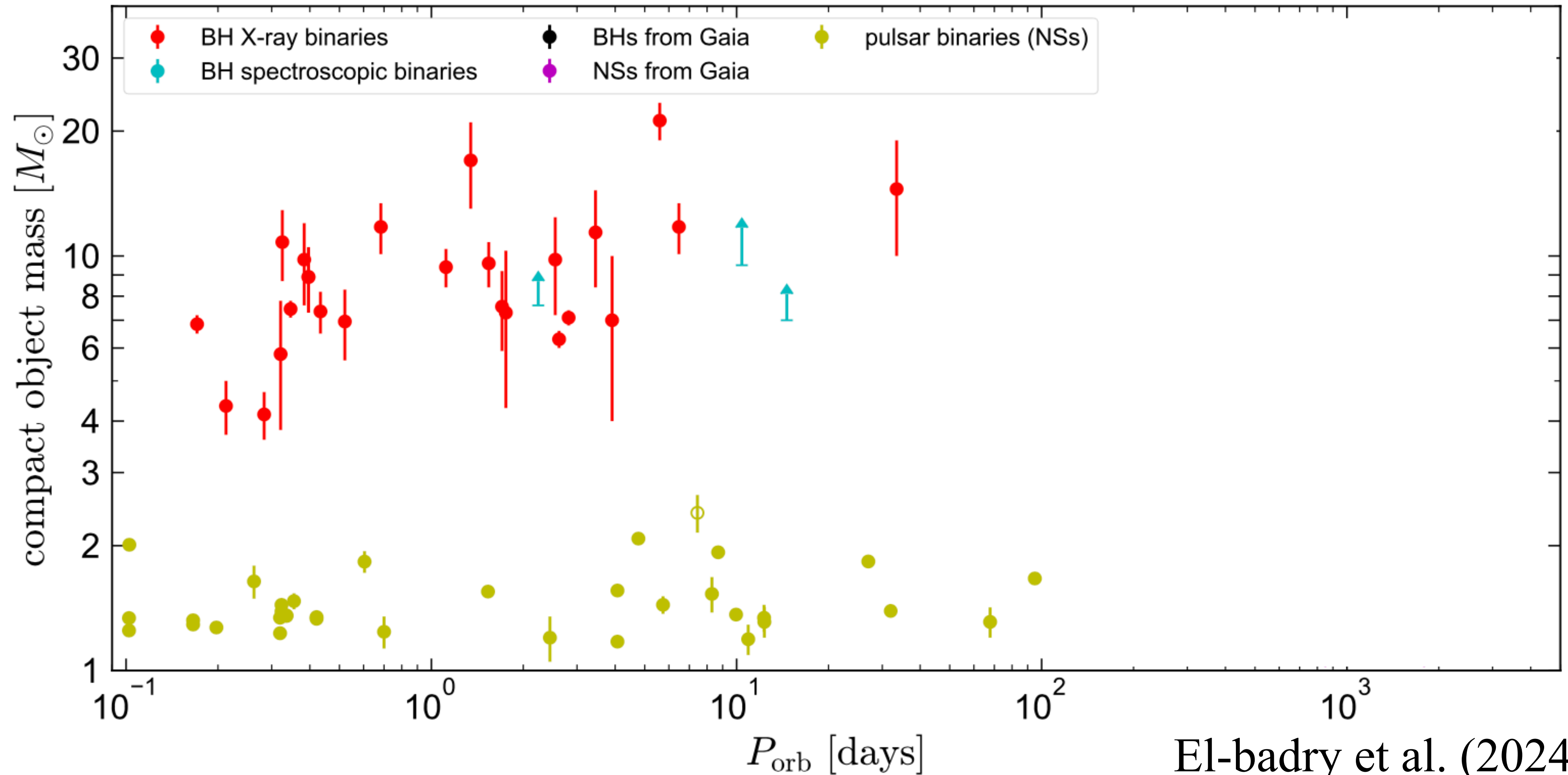
$$\Omega = \pm \pi$$



概要

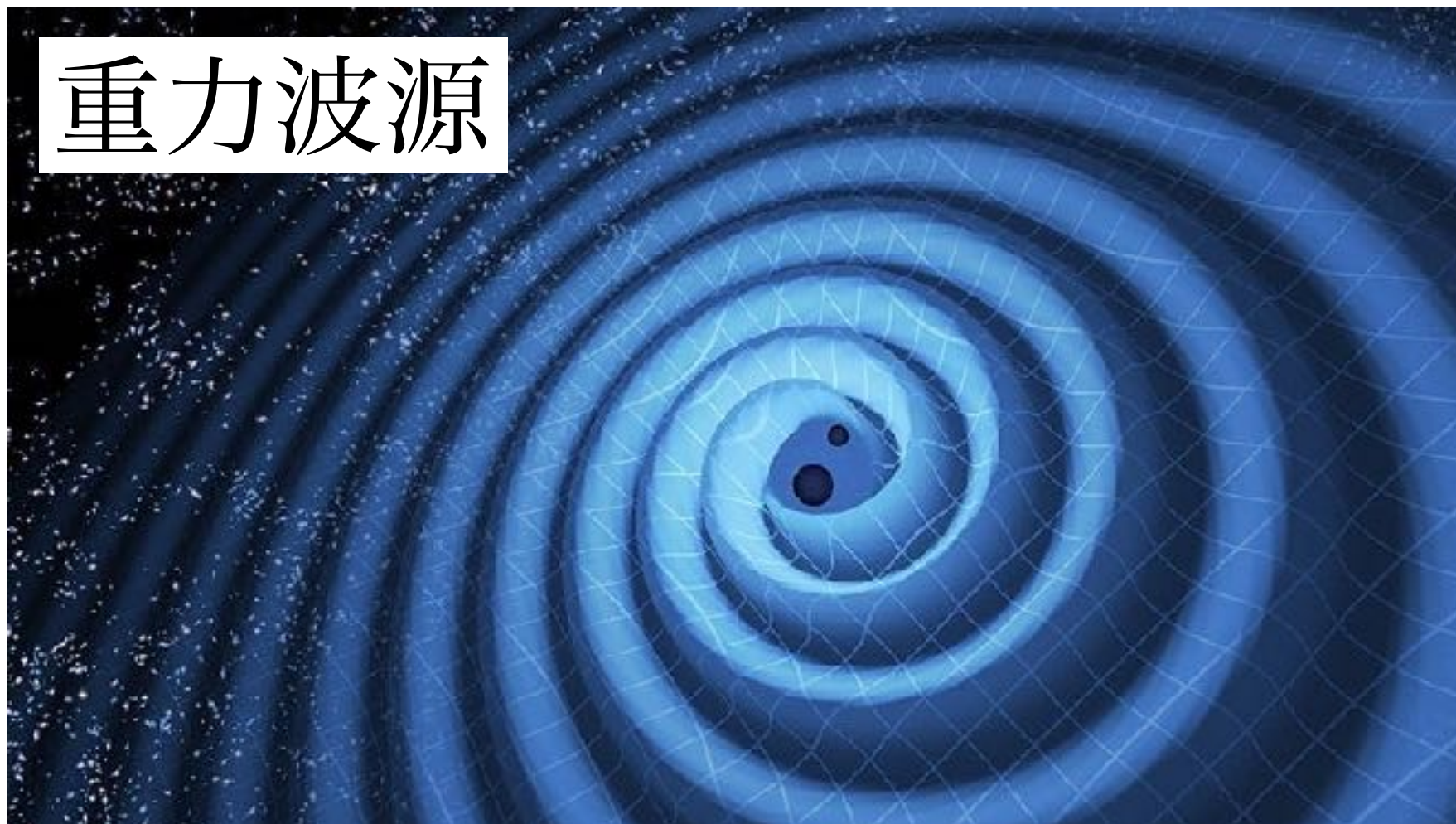
- GaiaによるBH/NS連星の探査の基本
- BH/NS探査のモチベーション
- BH/NS連星の発見史
- Gaia BH/NSの形成過程の問題

多様なBH/NSの発見



El-badry et al. (2024)

引き出せるBH/NSの情報



- 質量
- スピン
- 位置・速度（電磁波対応天体があれば）

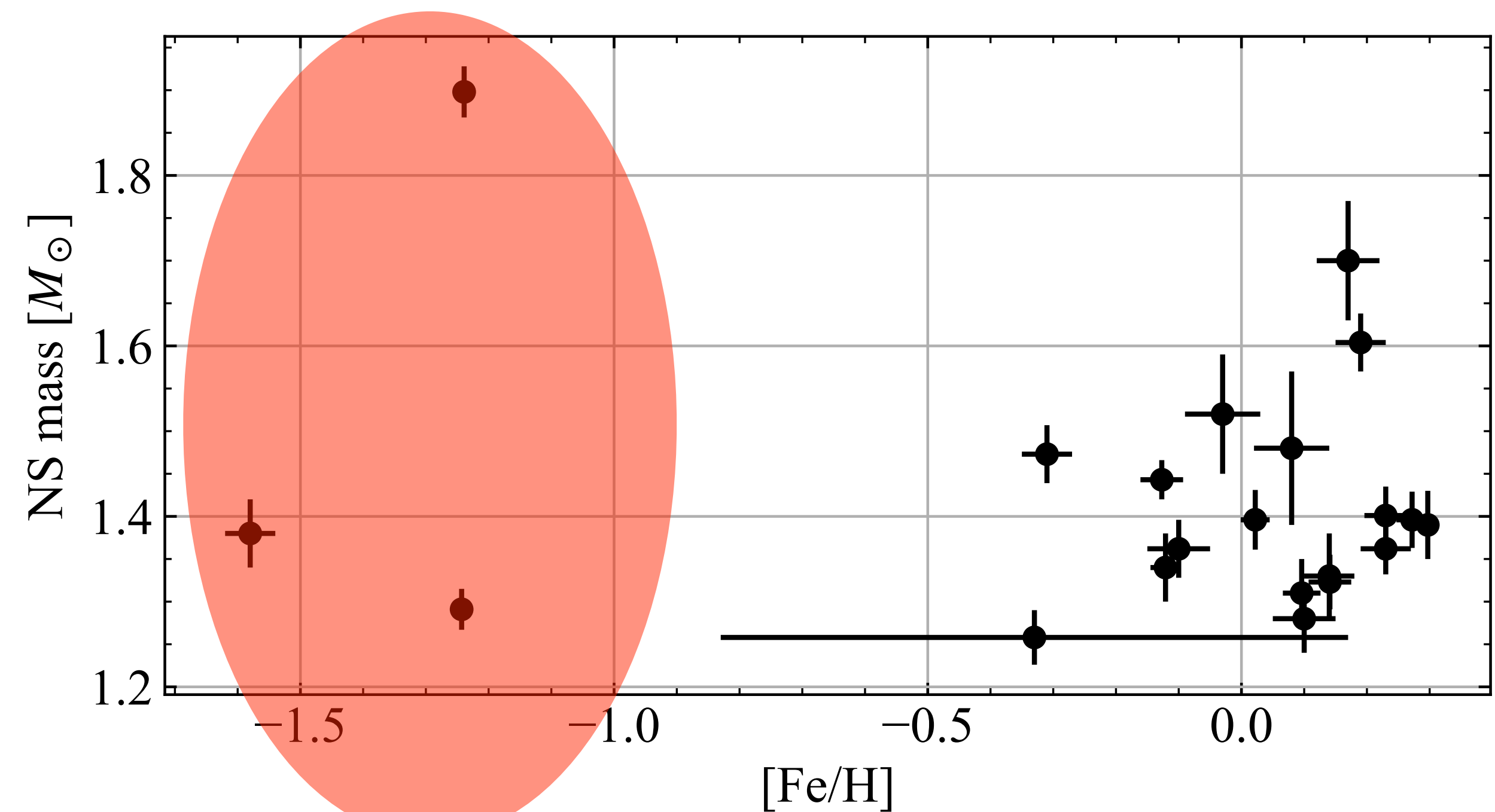


- 質量
- 6次元の位置・速度
- 銀河ディスク、ハロー、バルジ
- （近いから）X線連星より正確
- 親星の組成 ($[Fe/H]$, $[\alpha/Fe]$, etc.)
- X線連星より汚染されていない

古い超新星の記憶を残している

- パルサー・high-mass X-ray binary
- 若い中性子星
- ミリ秒パルサー・low-mass X-ray binary
- 古い中性子星かもしれないが、質量降着で超新星時の質量と変わっている
- Gaia NS
 - 低金属量（もある） \implies 古い
 - 長周期 \implies 質量降着を経験していない

Gaia NSの質量と金属量の関係



概要

- GaiaによるBH/NS連星の探査の基本
- BH/NS探査のモチベーション
- 「不活性」BH/NS連星の発見史
- Gaia BH/NSの形成過程の問題

Gaia DR3以前のBH/NS連星 (1/3)

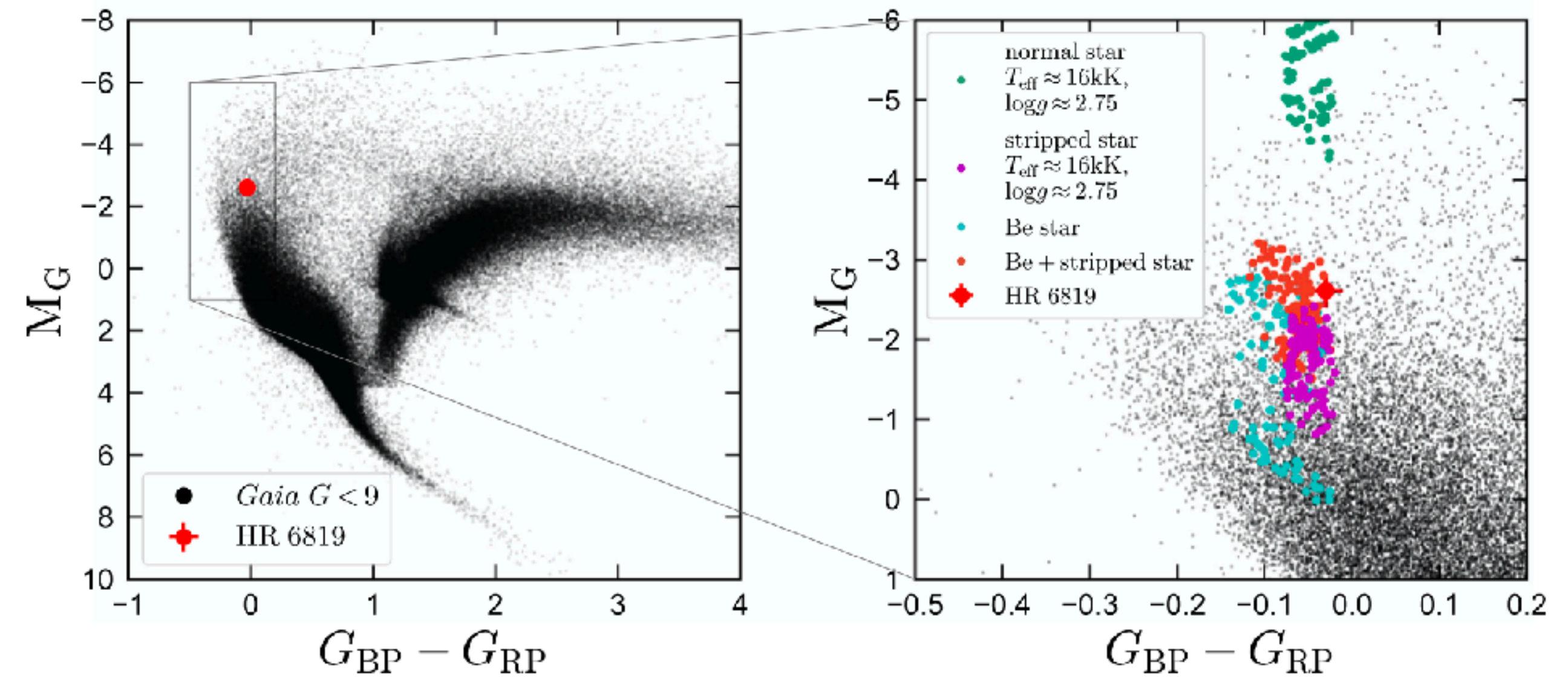
- 分光 (視線速度) 観測
- Liu et al. (2019); Thompson et al. (2019); Rivinius et al. (2020); Jayasinghe et al. (2021; 2022); Lennon et al. (2022); Saracino et al. (2022) \implies **すべて強い反対意見**

導出が単純

$$f_{m,\text{spectro}} = \frac{m_2^3}{(m_1 + m_2)^2} \sin^3 i$$

でない

$$= 1M_{\odot} \left(\frac{K_1}{30\text{km/s}} \right)^3 \left(\frac{P}{\text{yr}} \right) (1 - e^2)^{3/2}$$

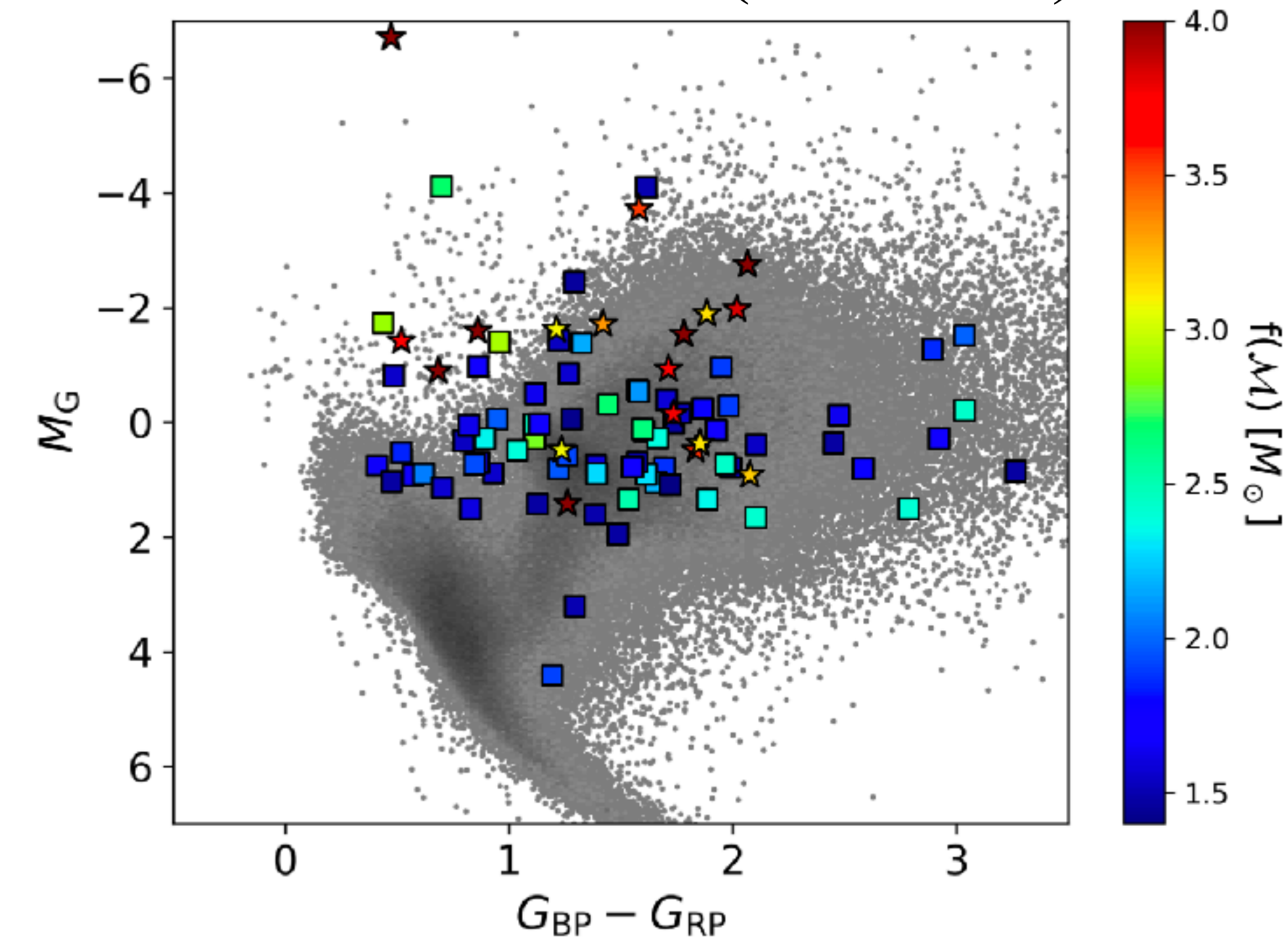


$$f_{m,\text{spectro}} = 1.5M_{\odot}$$

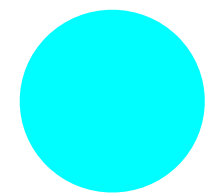
- $10M_{\odot}$ MS $\implies m_2 = 7.8M_{\odot}$ (BH?)
- $0.5M_{\odot}$ stripped star $\implies m_2 = 2.2M_{\odot}$
(stripped starによってかき消されたMS、
確率的にはこっちのほうが遥かに多い)

Gaia DR3以前のBH/NS連星 (1/3, 続き)

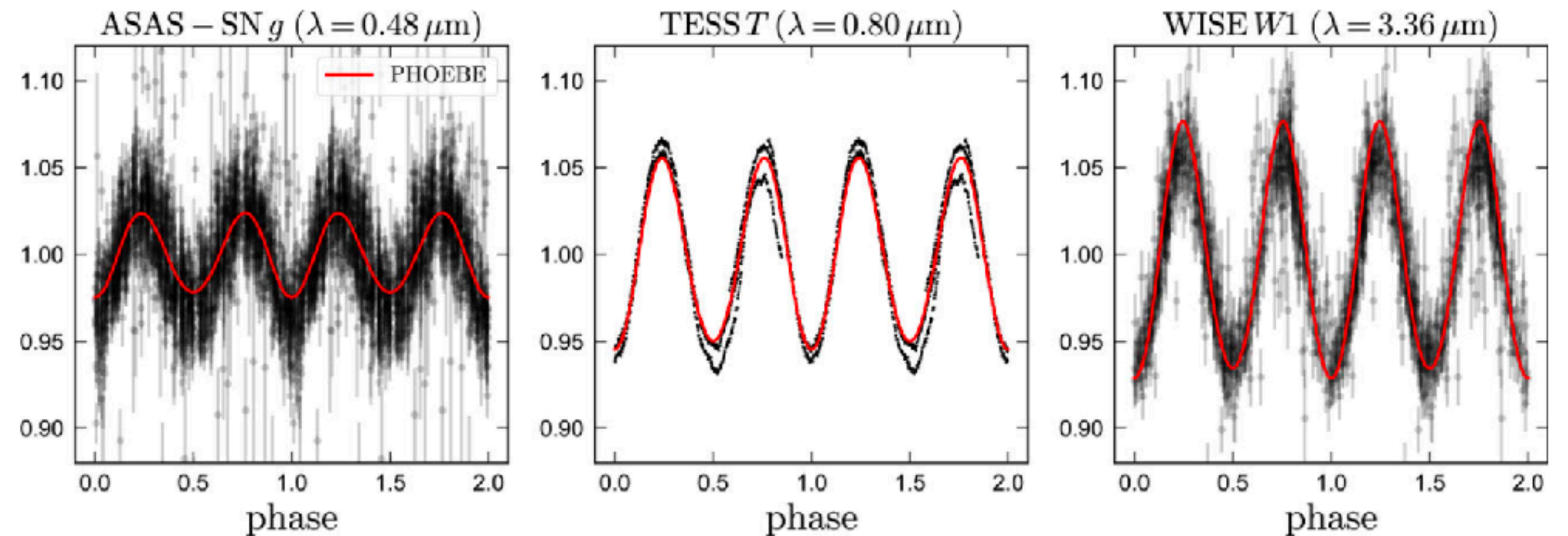
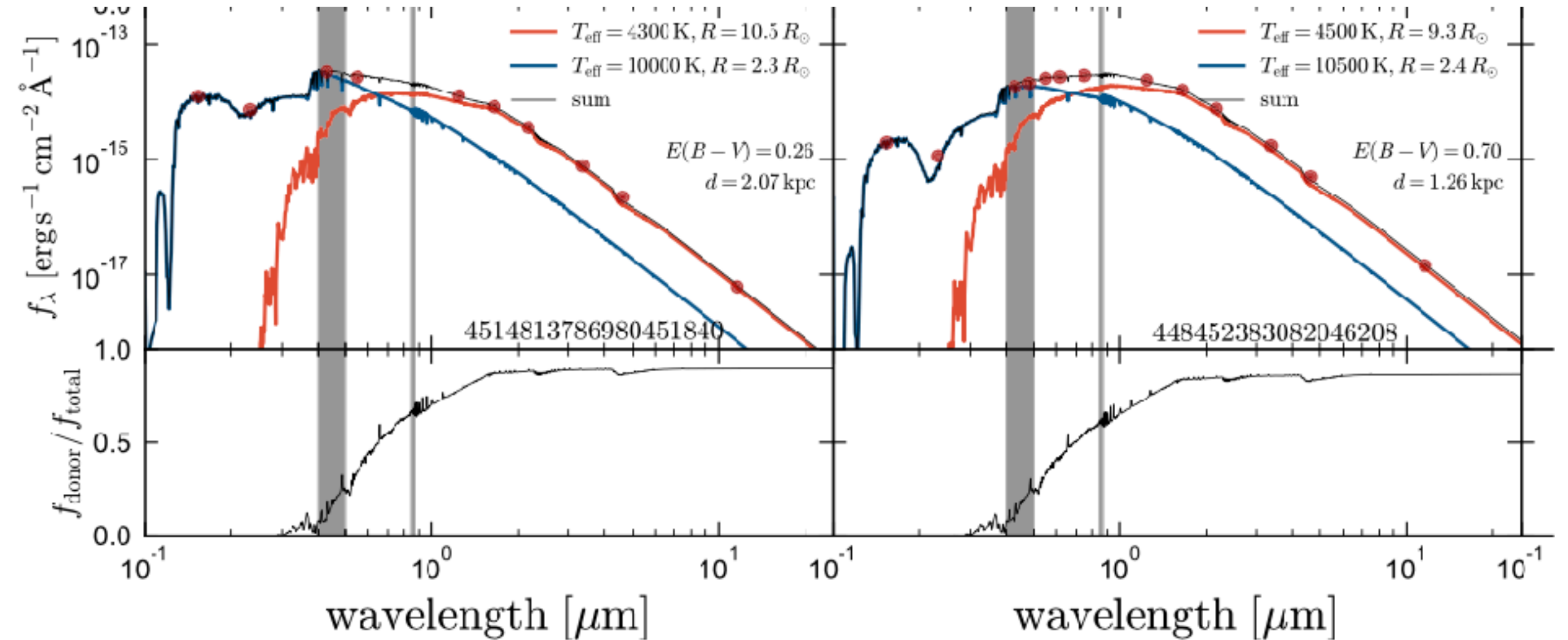
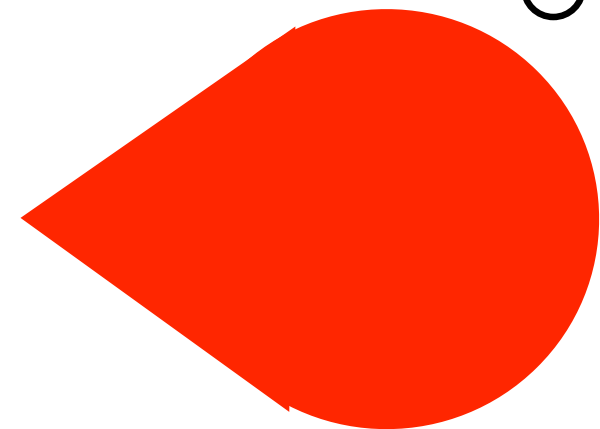
BH/NS候補 (Gaia+23)



$\sim 2M_{\odot}$ Hot star



$\sim 0.2M_{\odot}$ RGB

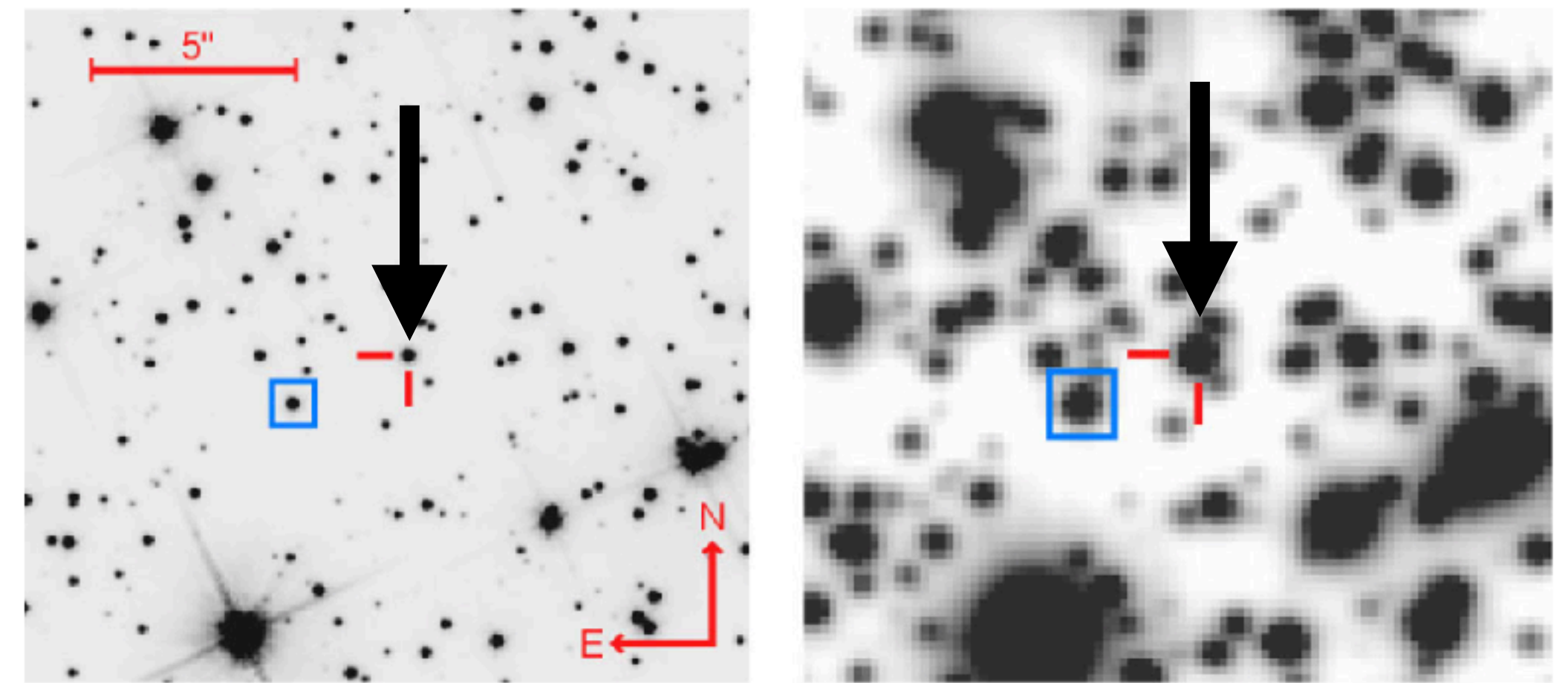


Gaia DR3 以前のBH/NS連星 (2/3)

- Giesers et al. (2018; 2019): 3BHs in globular cluster NGC 3201
- MUSEによる視線速度観測

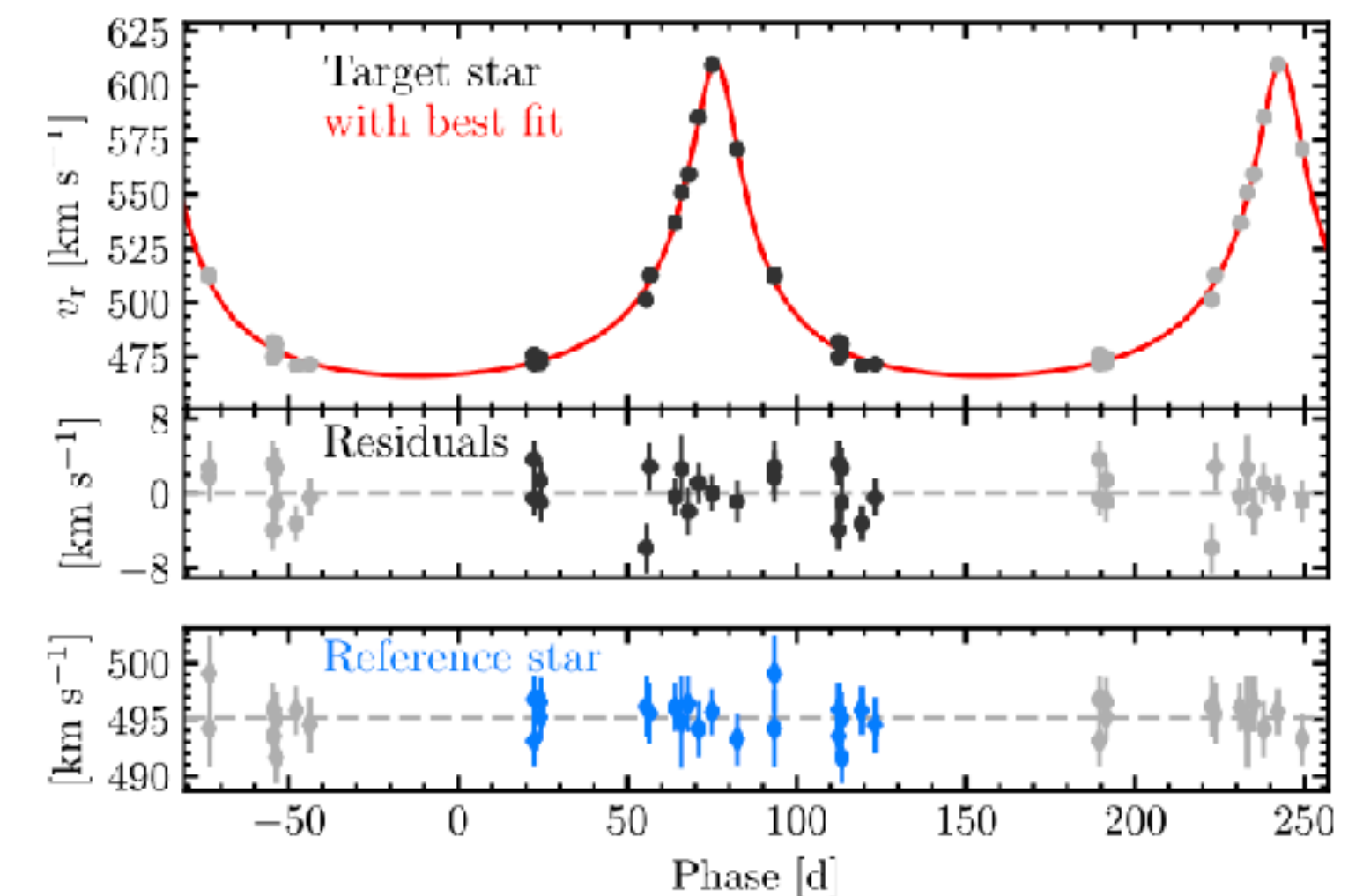
$$\frac{m_2^3}{(m_1 + m_2)^2} \sin^3 i \cdot 3.0M_{\odot} \left(\frac{K_1}{69.4\text{km/s}} \right)^3 \left(\frac{P}{166.88\text{day}} \right) \left[1 - \left(\frac{e}{0.595} \right)^2 \right]^{3/2}$$

- m_2 の下限を与える($m_1 = 0$, $i = 90^\circ$ のときの m_2)
 - 主星は $m_1 \lesssim 0.8M_{\odot}$ で暗く、伴星をかき消せない
- ⇒ BH/NS



(a) HST

(b) MUSE



Gaia DR3以前のBH/NS連星 (3/3)

- Shear et al. (2022): BH in LMC
- VLT FLAMES Tarantula Survey
- $25M_{\odot}$ O型星 + $10M_{\odot}$ BH連星
- 重力波源の親星？ (ただ短周期すぎる?)
- O型星の質量推定
- Spectral-type-mass calibration
- Evolution model (L , T_{eff})
- Evolution model ($\log g$, R_1)
- スペクトル解析で $\leq 8.7M_{\odot}$ MS (later than and equal to B3V) を否定
- O型星の質量推定が正しければ、BH確定

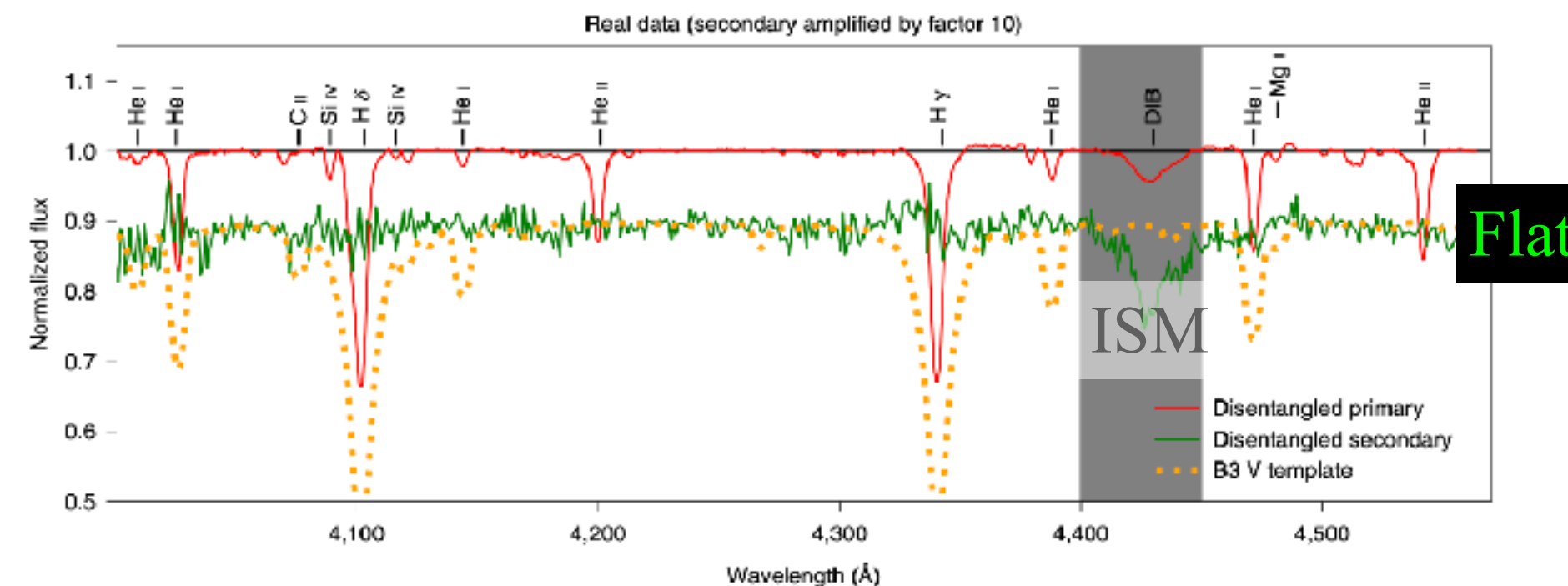
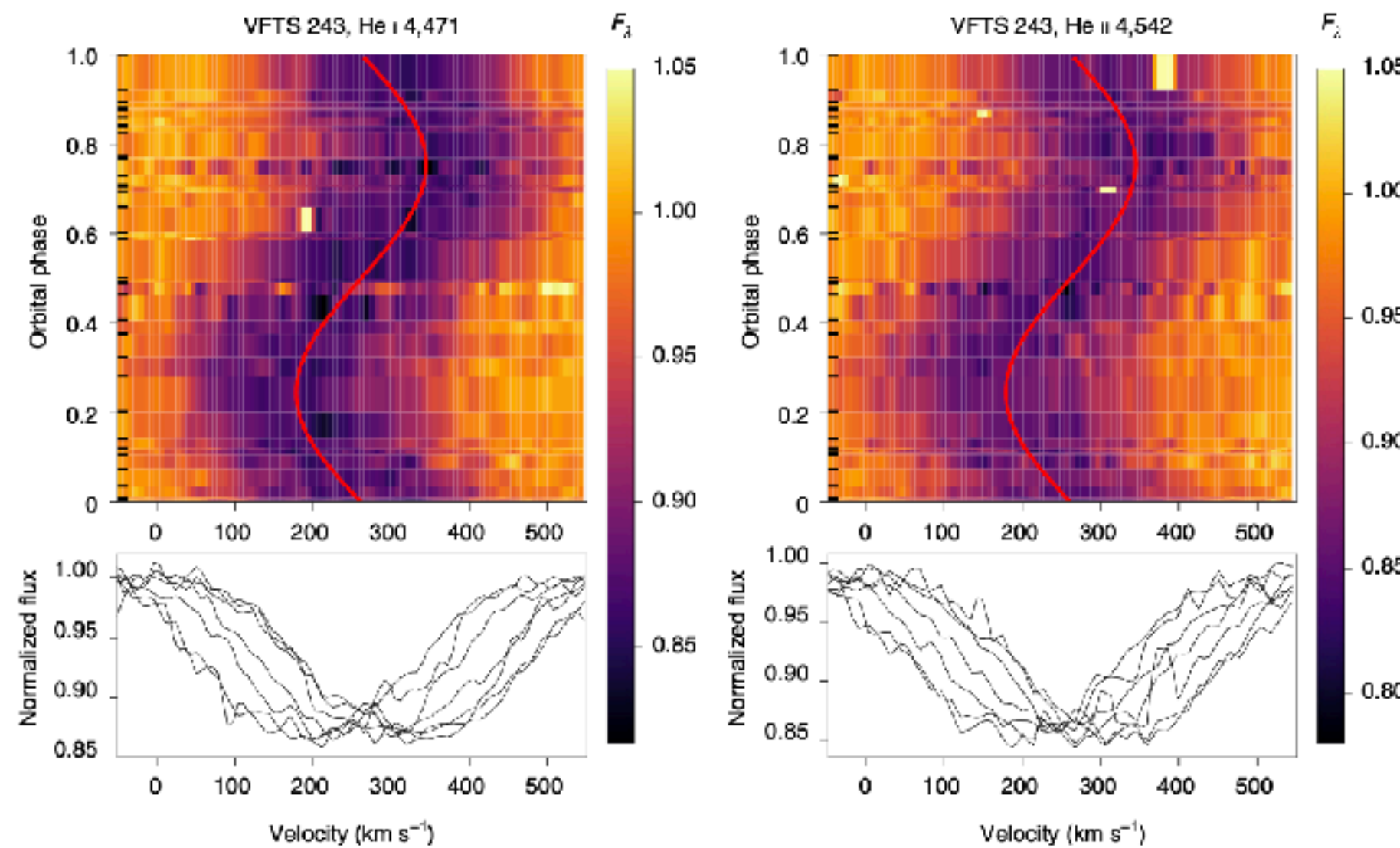
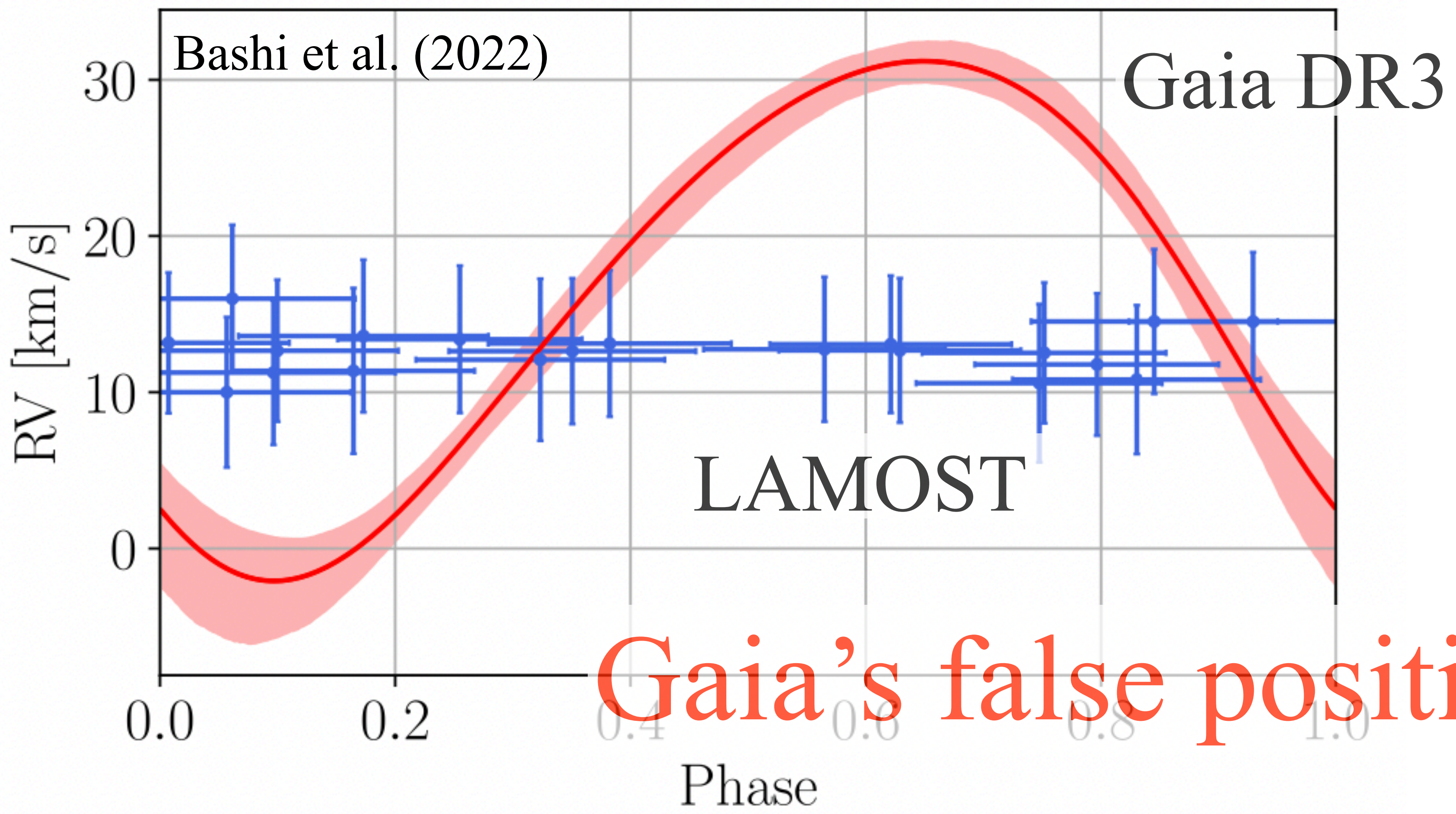


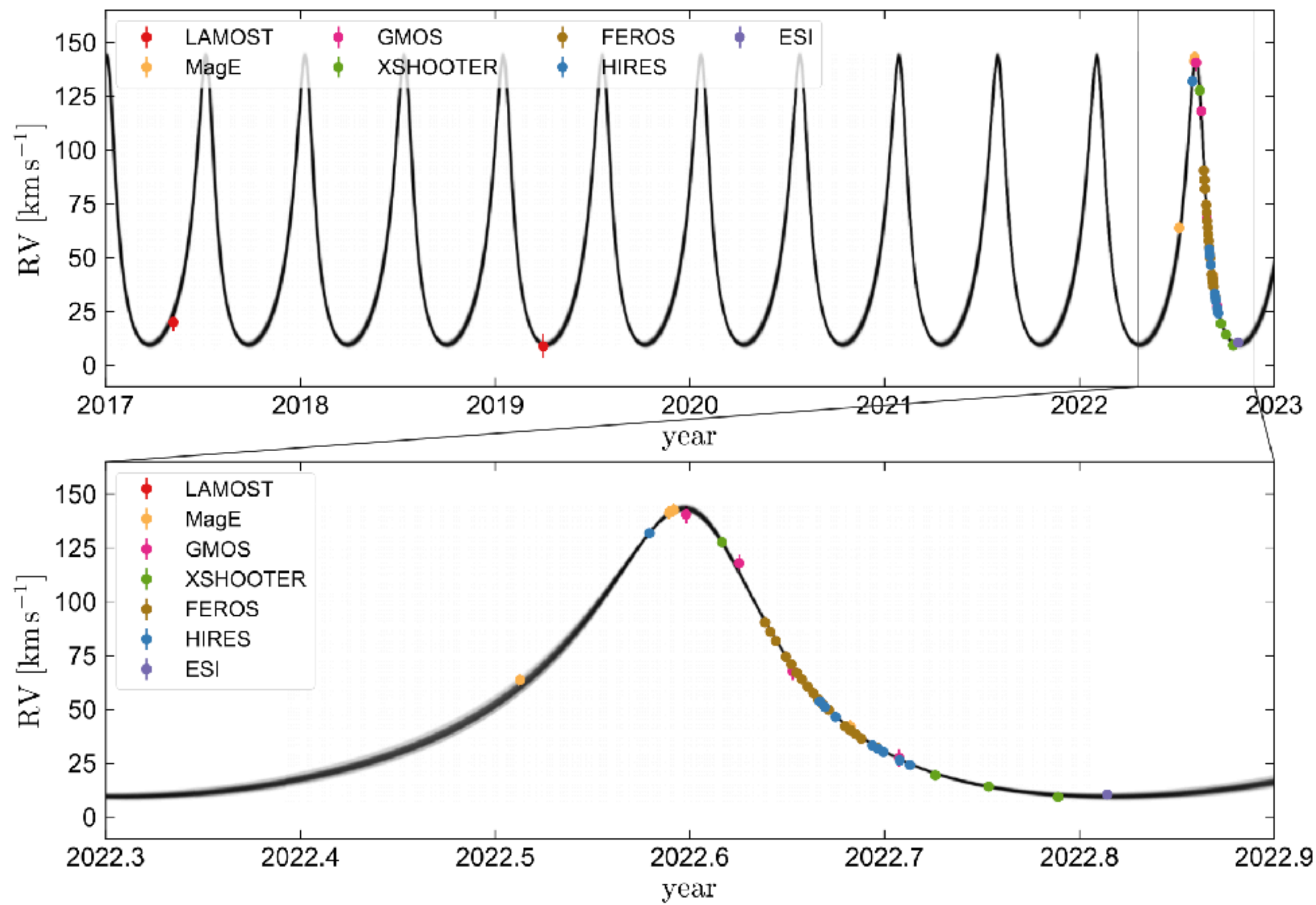
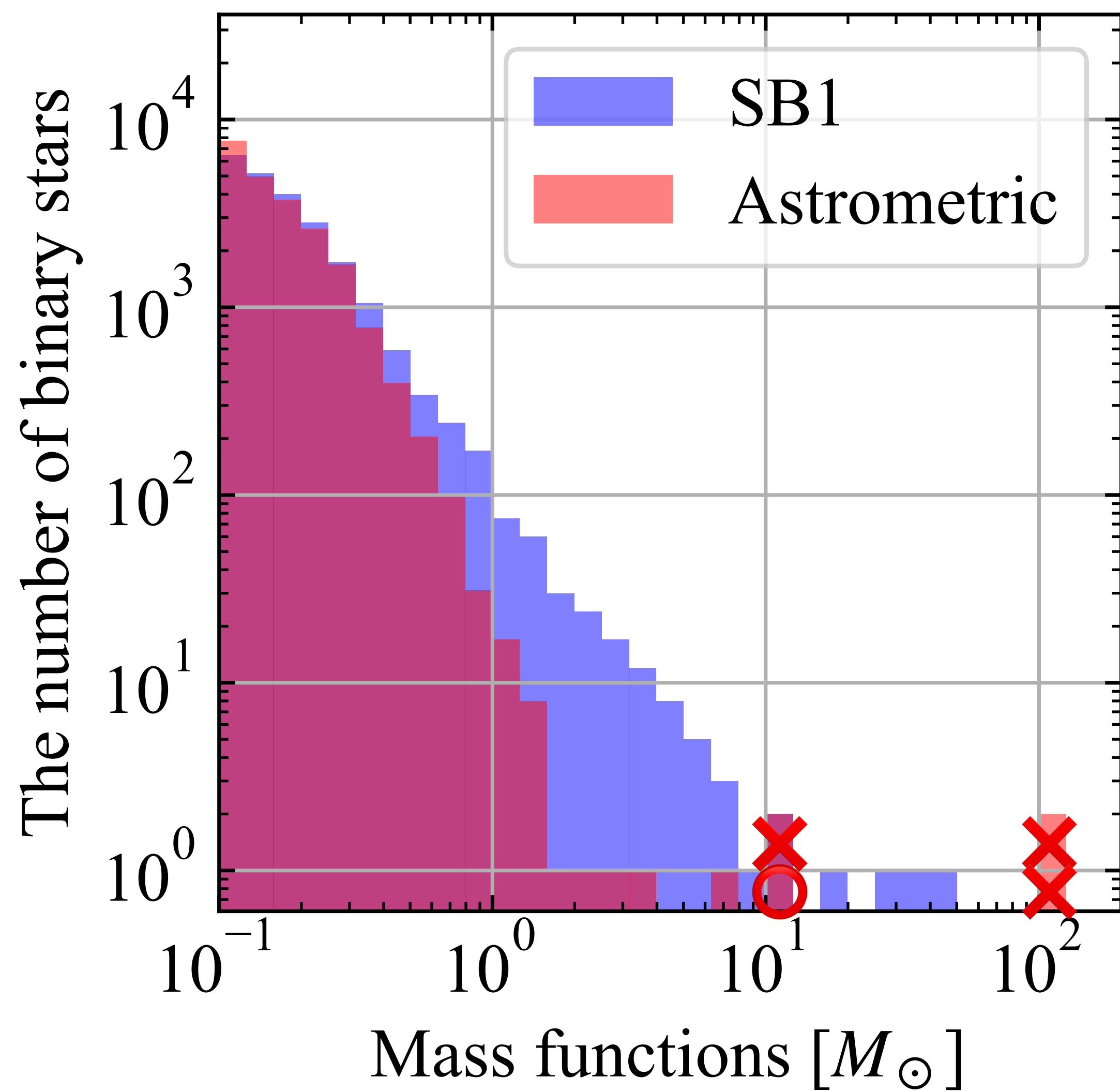
Table 1 Derived parameters for VFTS 243	
P [d]	10.4031 ± 0.0004
T_0 [JD - 2,400,000]	$54,870.7 \pm 1.5$
e	0.017 ± 0.012
ω [°]	66 ± 53
K_1 [km s ⁻¹]	81.4 ± 1.3
Γ [km s ⁻¹]	260.2 ± 0.9
f [M_{\odot}]	0.581 ± 0.028
$T_{\text{eff},1}$ [kK]	36 ± 1
$\log g_1$ [cgs]	3.7 ± 0.1
E_{BV} [mag]	0.45 ± 0.02
A_V [mag]	1.76 ± 0.08
$\log \dot{M} \sqrt{D}$ [$M_{\odot} \text{yr}^{-1}$]	-6.3 ± 0.3
v_{∞} [km s ⁻¹] (adopted)	2,100
X_N [%]	0.11 ± 0.05
$X_N/X_{N,LMC}$	16 ± 7
A_V [mag]	1.70 ± 0.03
$\log L_1$ [L_{\odot}]	5.20 ± 0.04
R_1 [R_{\odot}]	10.3 ± 0.8
$R_1/R_{\text{Roche lobe}}$	0.33 ± 0.03
$v \sin i_1$ [km s ⁻¹]	181 ± 16
$M_{\text{Sp},1}$ [M_{\odot}]	25.9 ± 3.1
$M_{\text{ev},1}$ [M_{\odot}]	26.2 ± 2.1
$M_{\text{spec},1}$ [M_{\odot}]	19.3 ± 5.2
M_1 [M_{\odot}]	25.0 ± 2.3
$M_{\text{min},2}$ [M_{\odot}]	8.7 ± 0.5
M_2 [M_{\odot}]	10.1 ± 2.0
M_{tot} [M_{\odot}]	$36.3^{+3.8}_{-5.5}$
i [°]	≥ 40
Age [Myr]	7.4

Gaia DR3以後

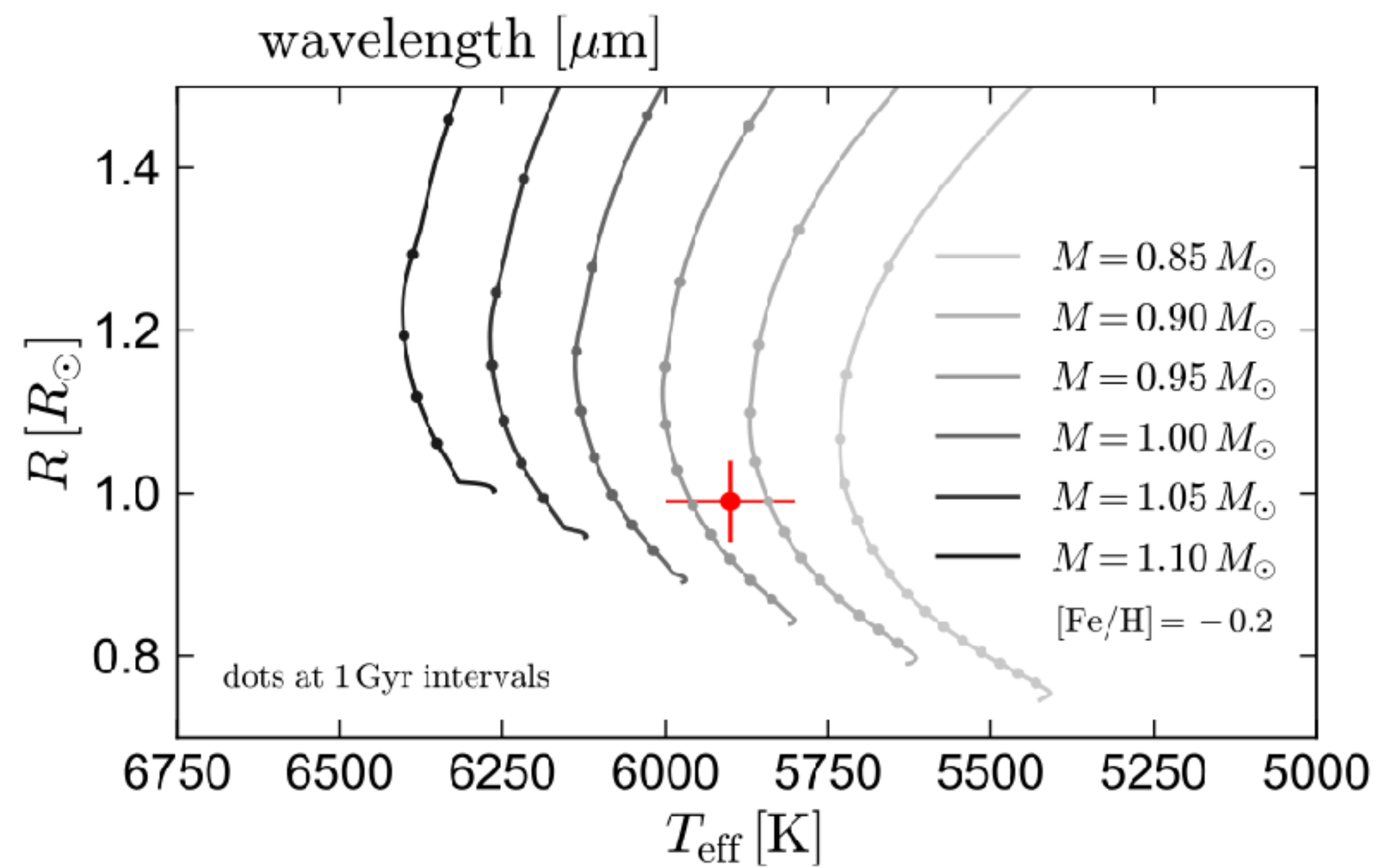
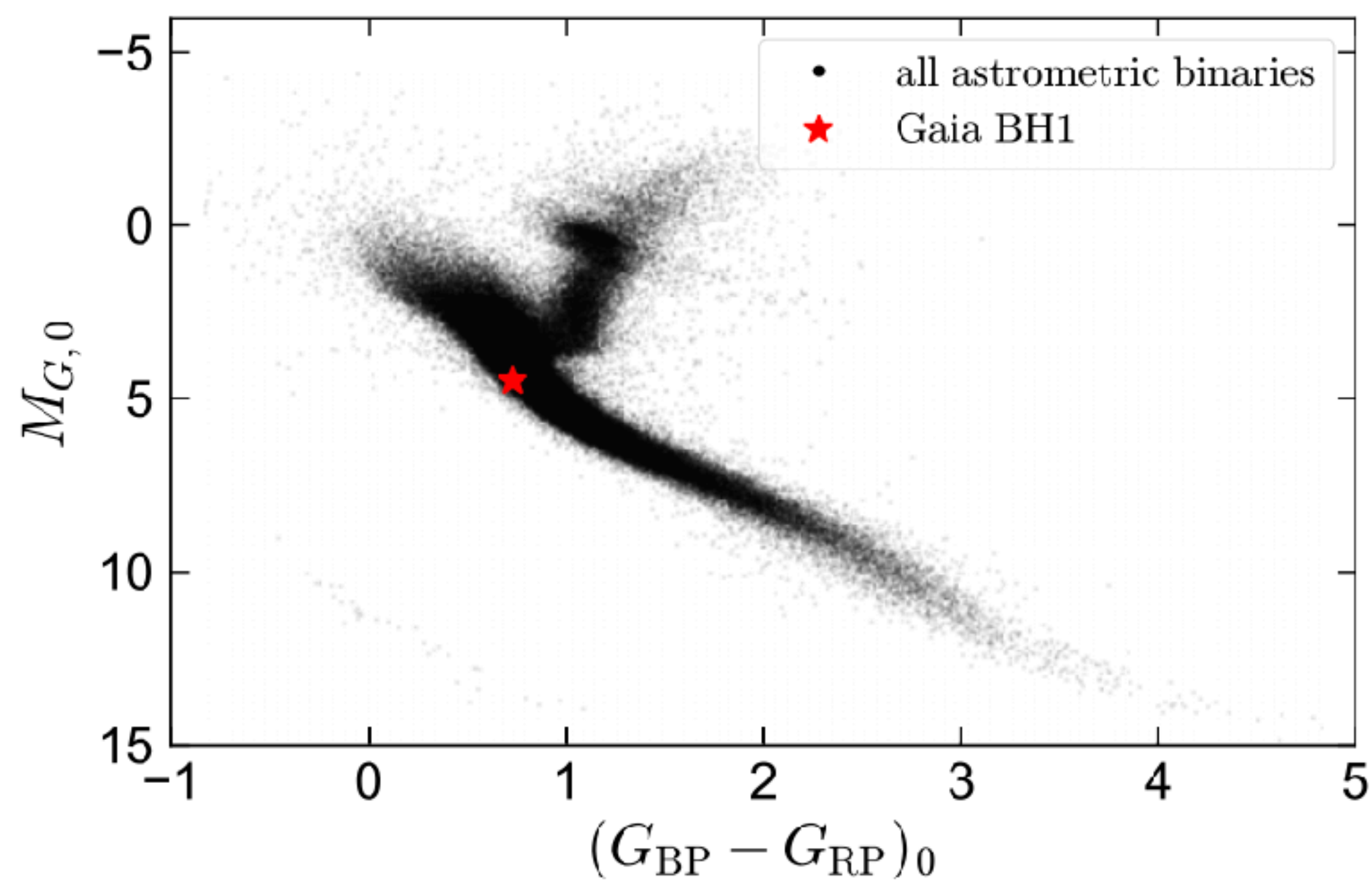
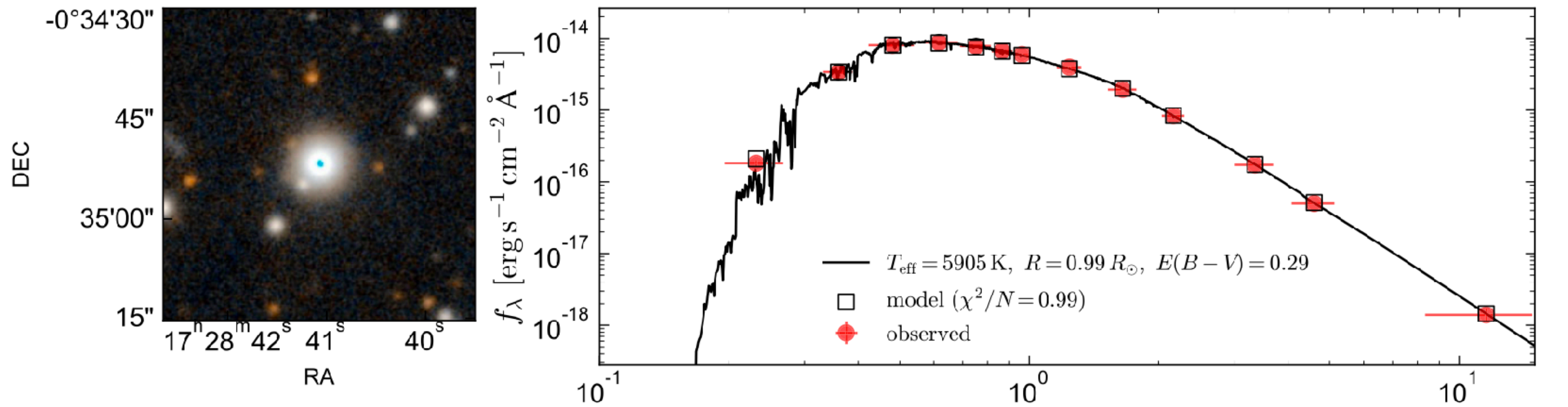


Gaia's false positive

Gaia BH1



El-Badry et al. (2024)

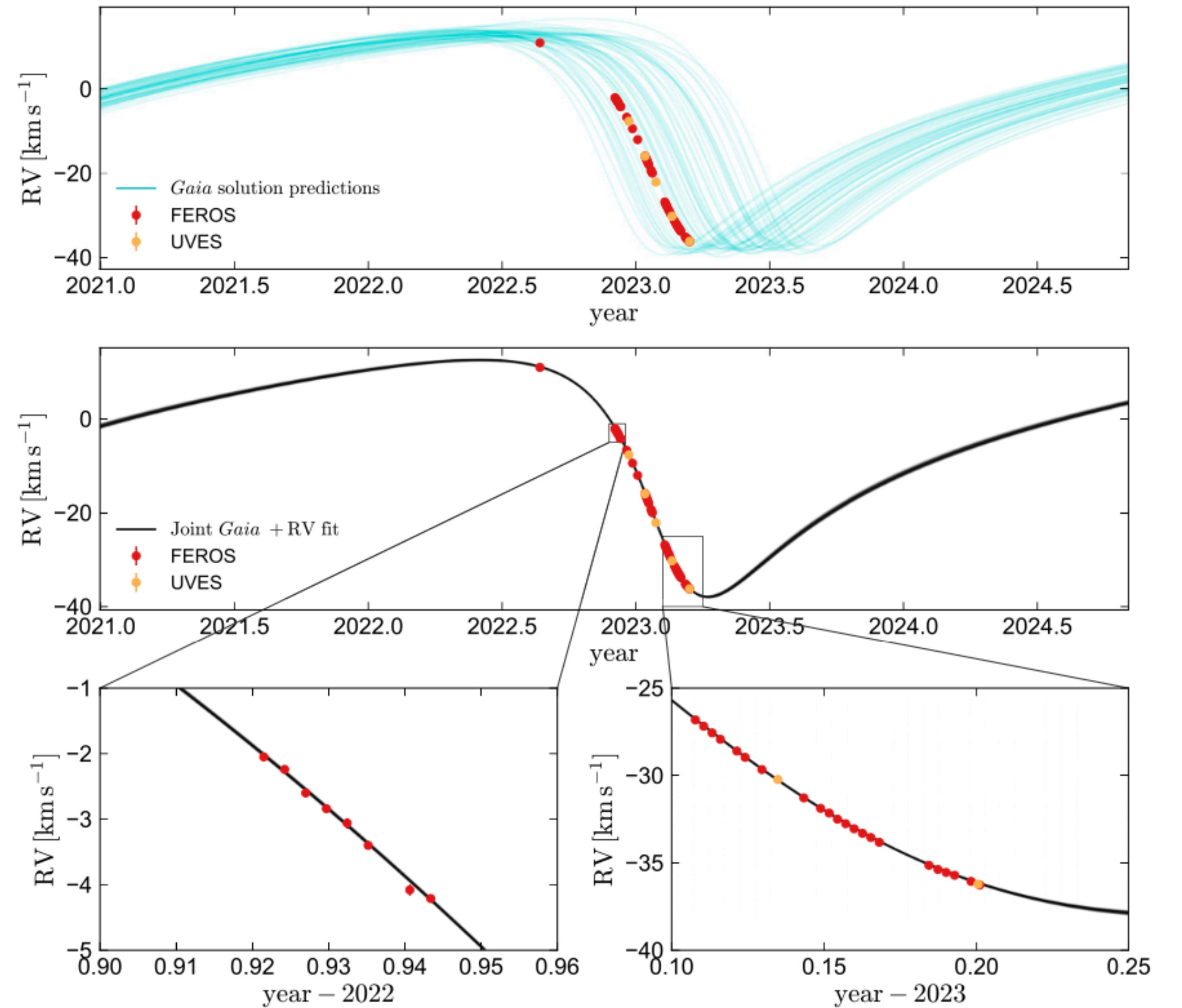
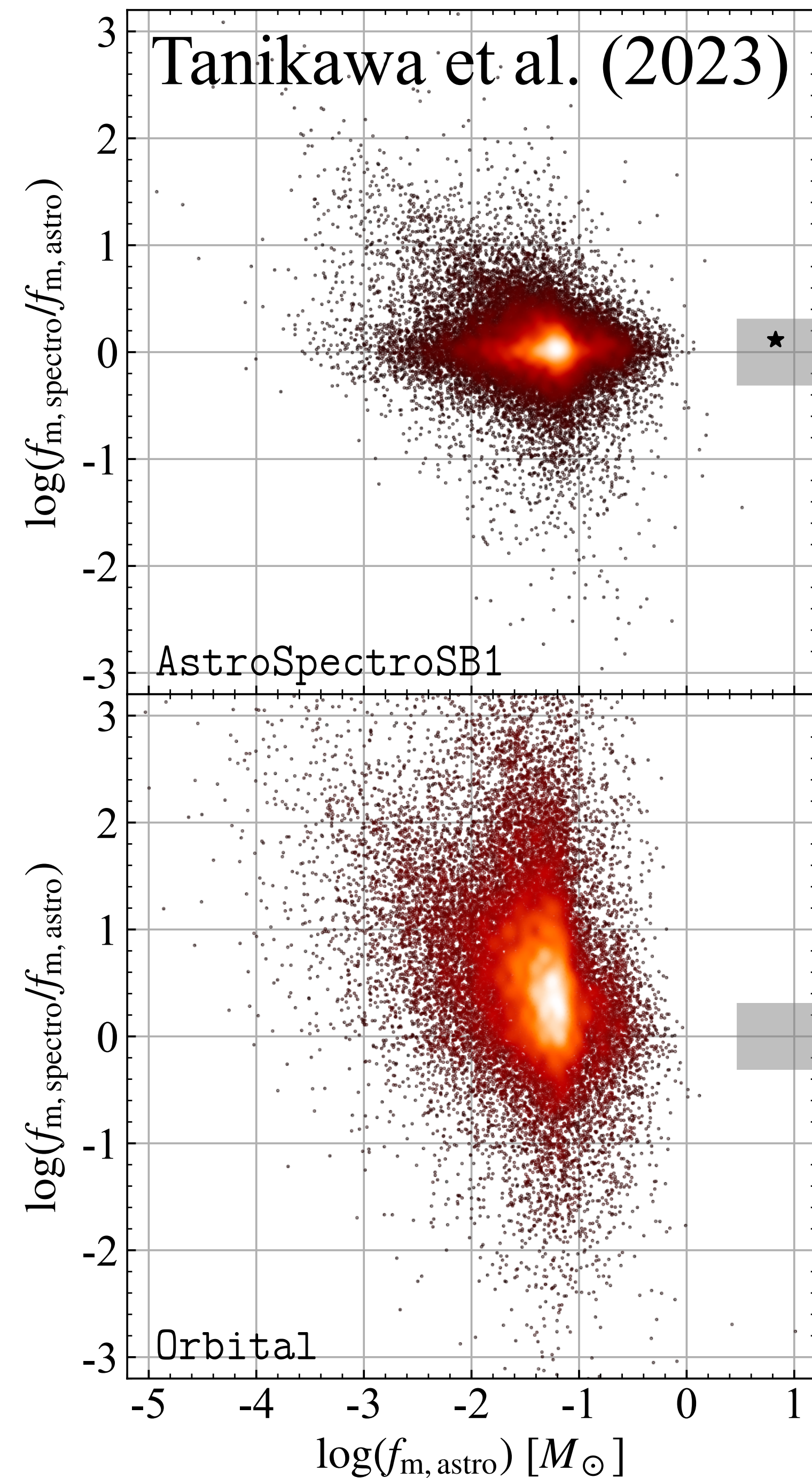


El-Badry et al. (2024)

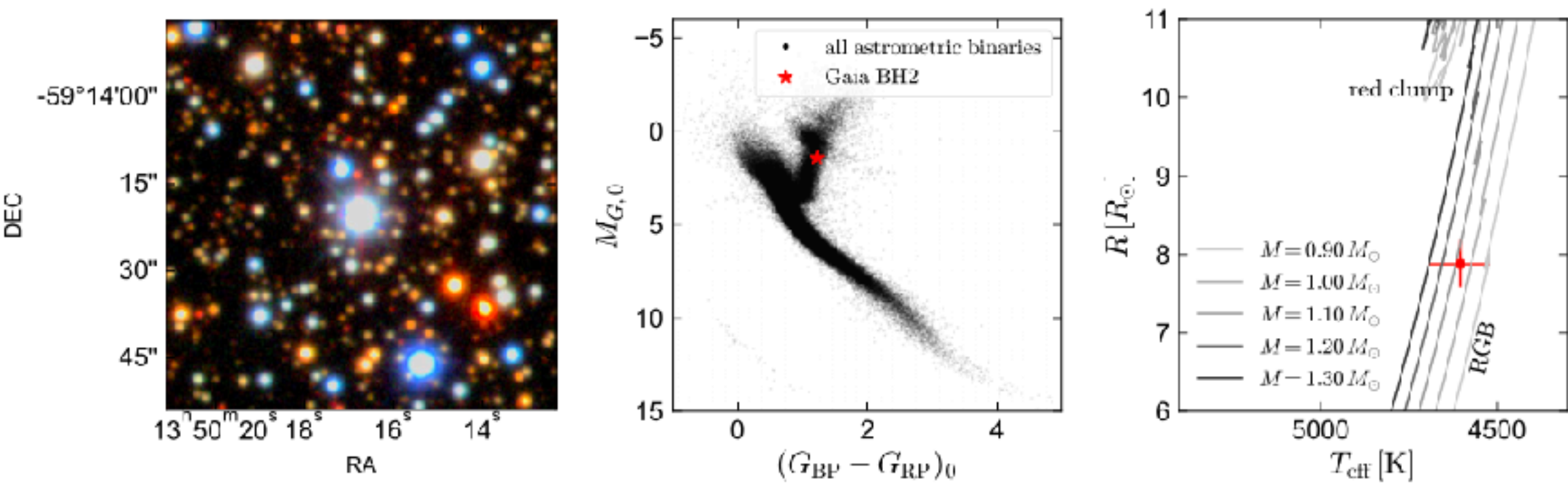
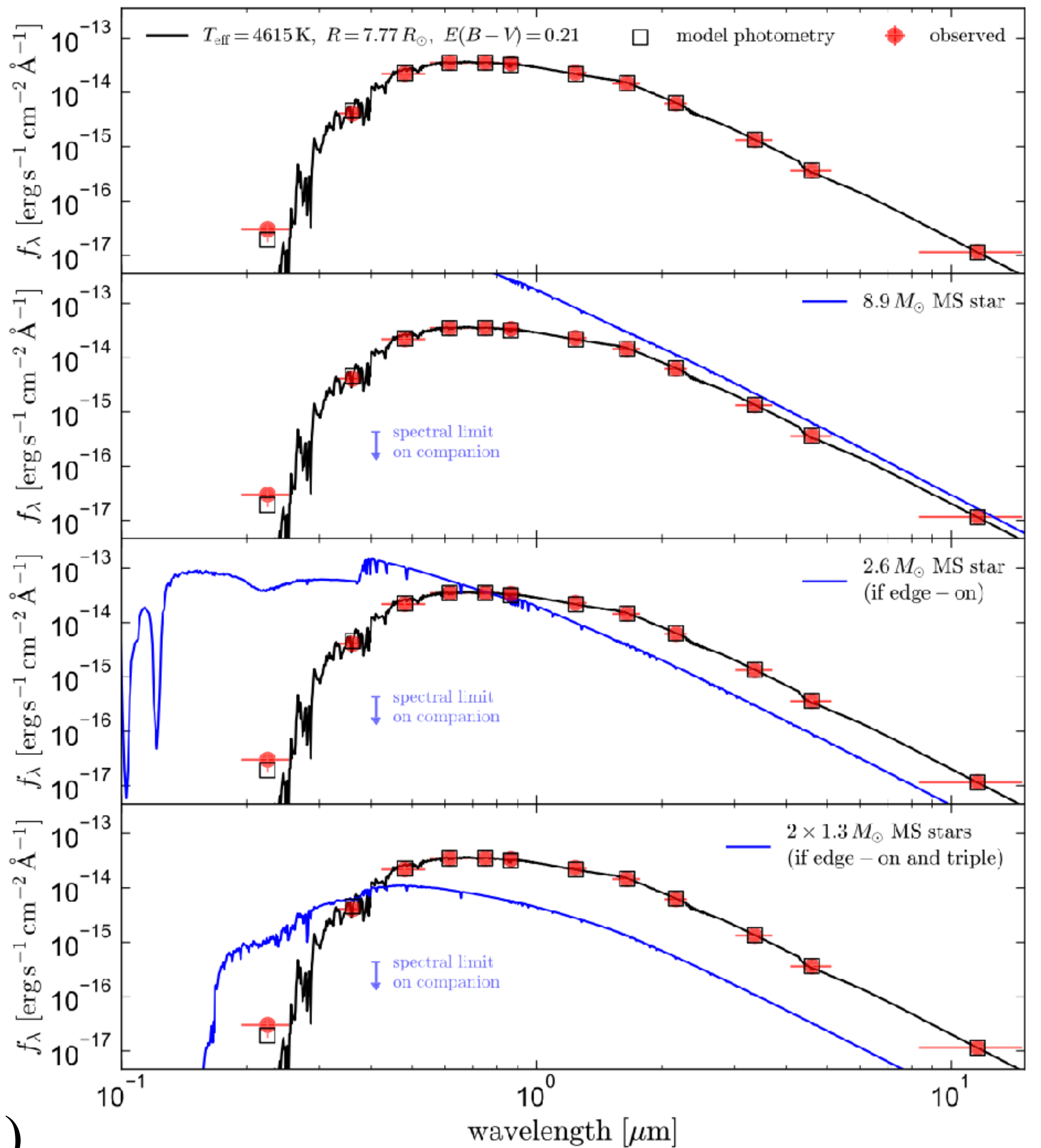
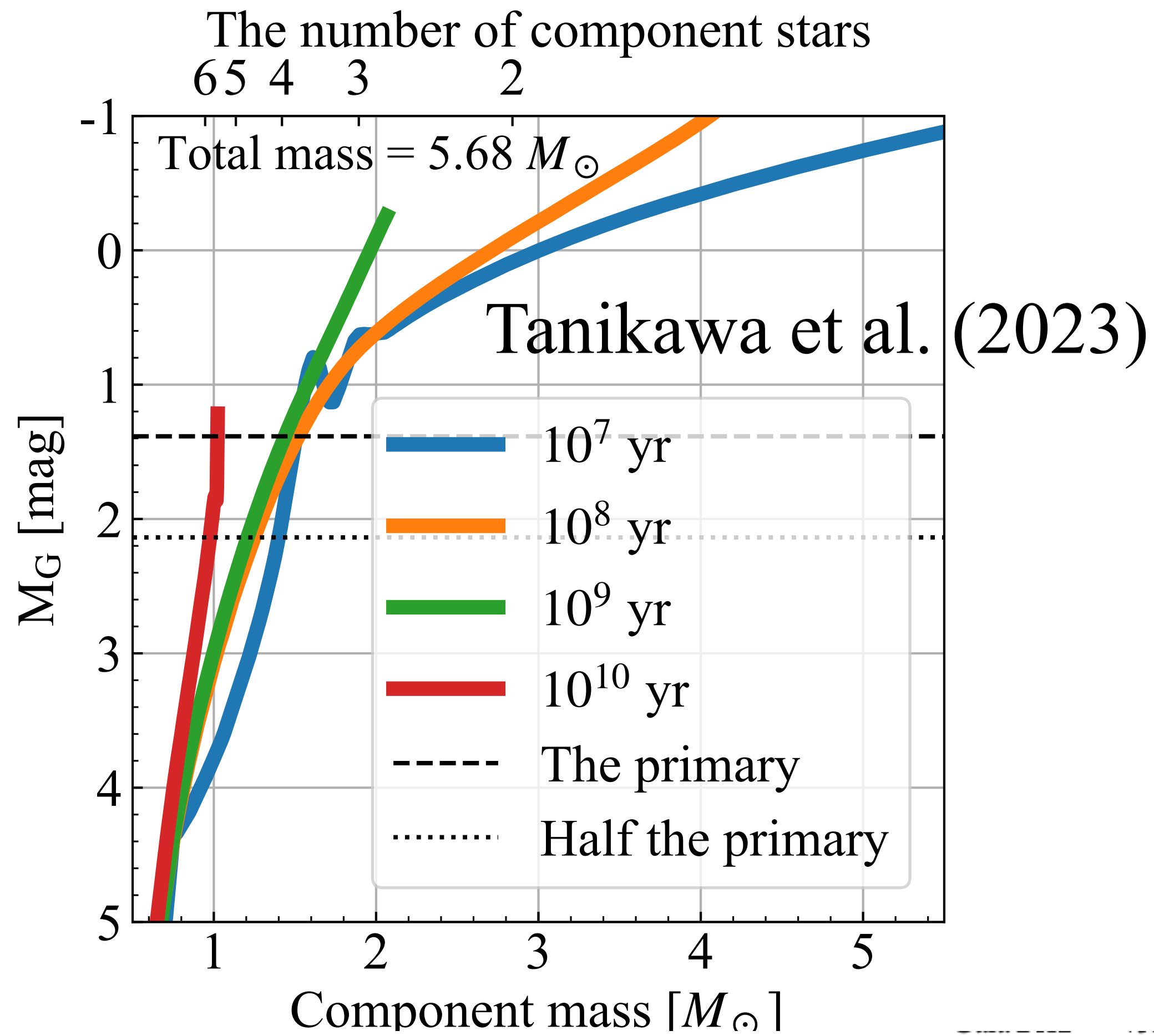
Gaia BH2

$$f_{m,\text{astro}} \sim f_{m,\text{spectro}} / \sin^3 i$$

$$f_{m,\text{astro}} \gtrsim 3M_{\odot}$$

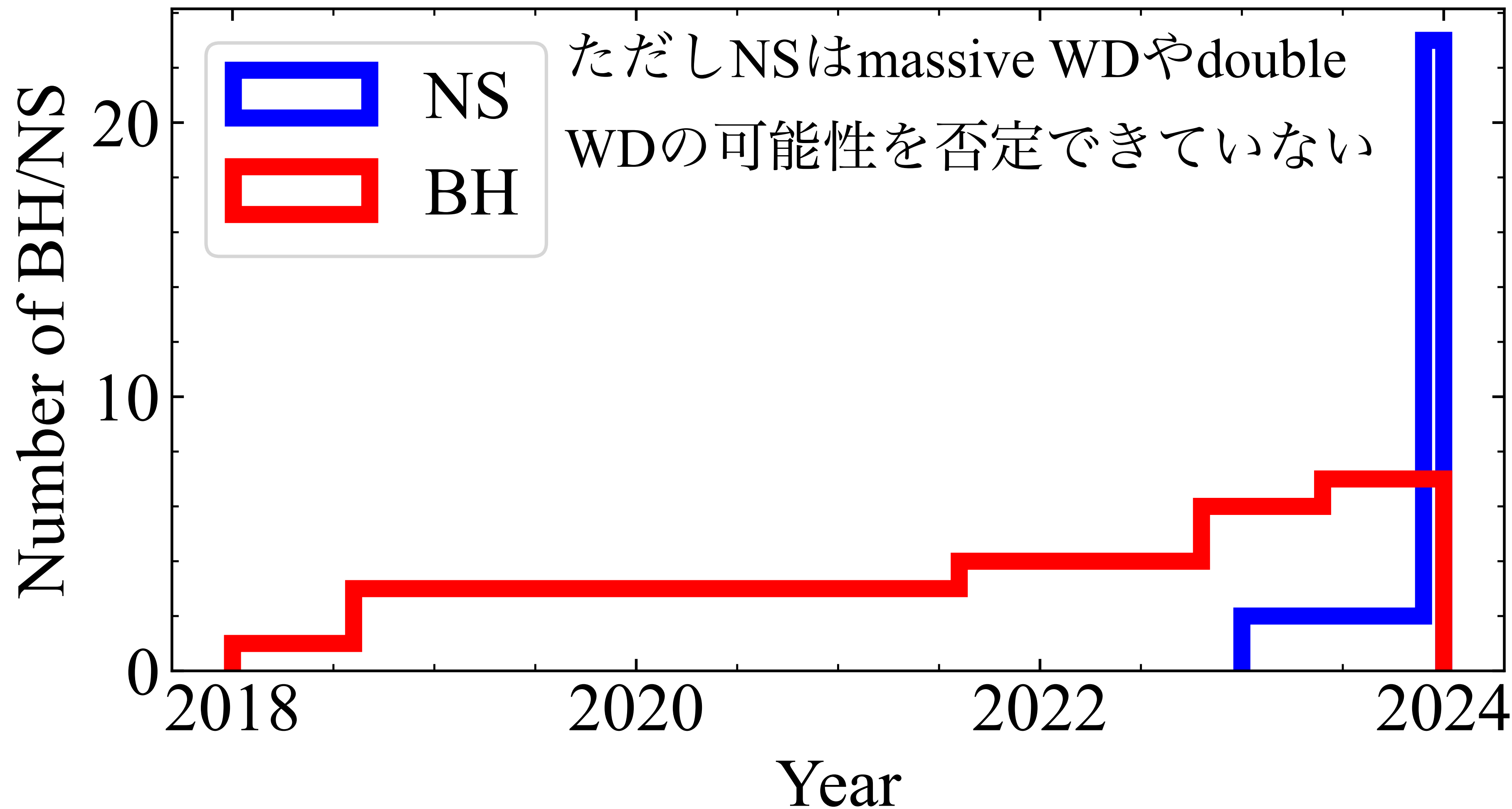


El-Badry et al. (2023)



El-Badry et al. (2023)

Gaia DR3以後のBH/NS連星



Gaia DR3が強力な理由 (1/2)

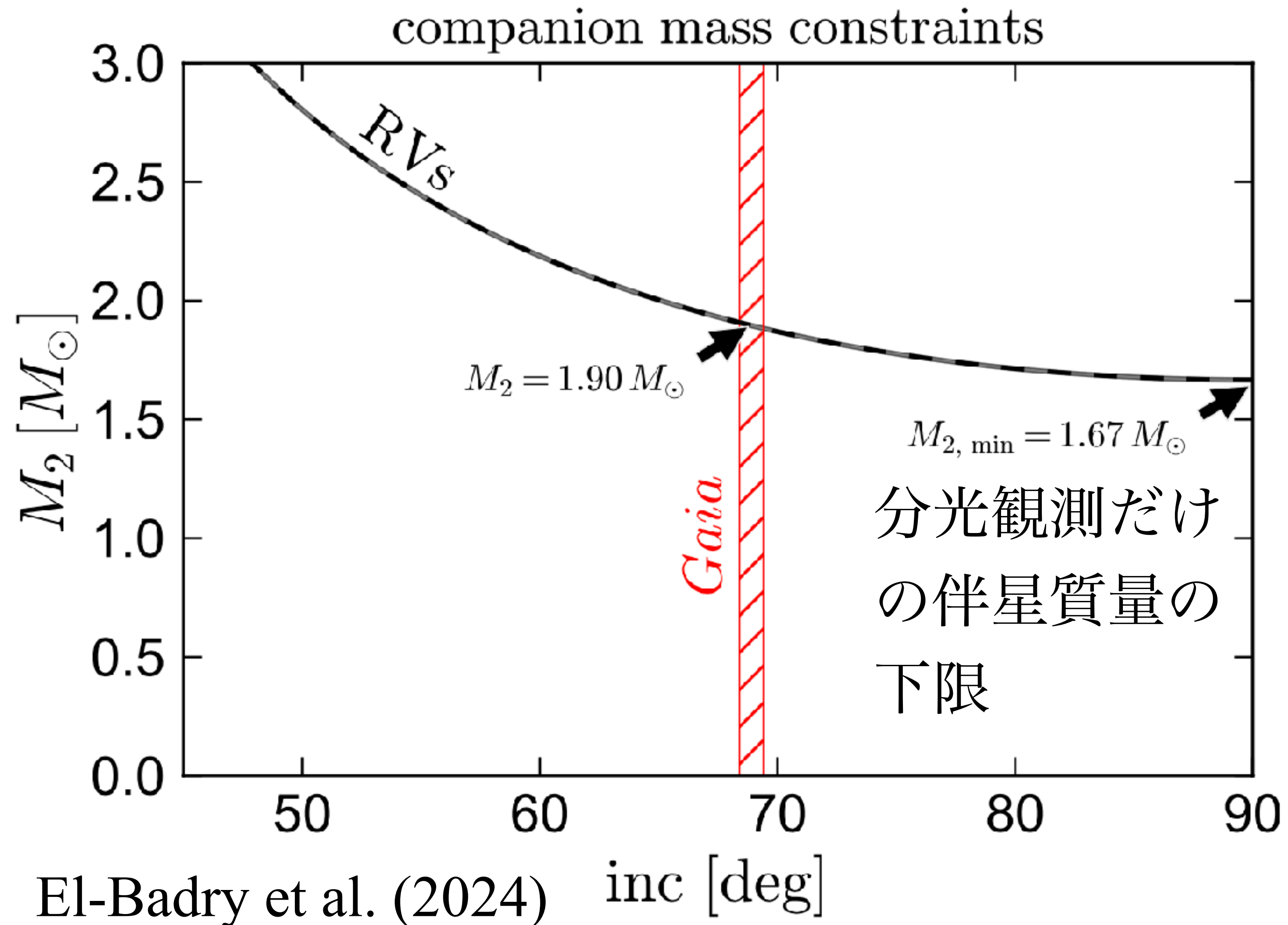
Gaia collaboration (2023)

Table	nss_solution_type	Solutions	Description
nss_acceleration_astro	Acceleration7	246 947	Second derivatives of position (acceleration)
	Acceleration9	91 268	Third derivatives of position (jerk)
nss_two_body_orbit	Orbital	134 598	Orbital astrometric solutions
	OrbitalAlternative*	629	Orbital astrometric, alternative solutions
	OrbitalTargetedSearch*	533	Orbital astrometric, supplementary external input list
	AstroSpectroSB1	33 467	Combined orbital astrometric + spectroscopic solutions
	SB1 or SB2	186 905	Orbital spectroscopic solutions
	EclipsingSpectro	155	Combined orbital spectroscopic + eclipsing solutions
	EclipsingBinary	86 918	Orbits of eclipsing binaries
nss_non_linearspectro	FirstDegreeTrendSB1	24 083	First order derivatives of the radial velocity
	SecondDegreeTrendSB1	32 725	Second order derivatives of the radial velocity
nss_vim_fl	VIMF	870	Variable-induced movers fixed

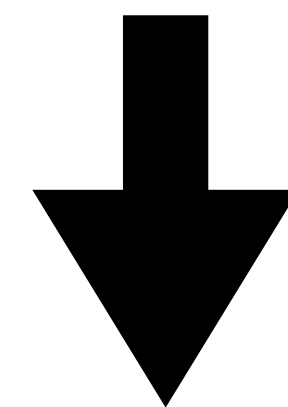
~ 170,000の
位置天文連星

大量のデータサンプル ⇐ BH/NS連星はレア

Gaia DR3が強力な理由 (2/2)



軌道傾斜角の縮退がない



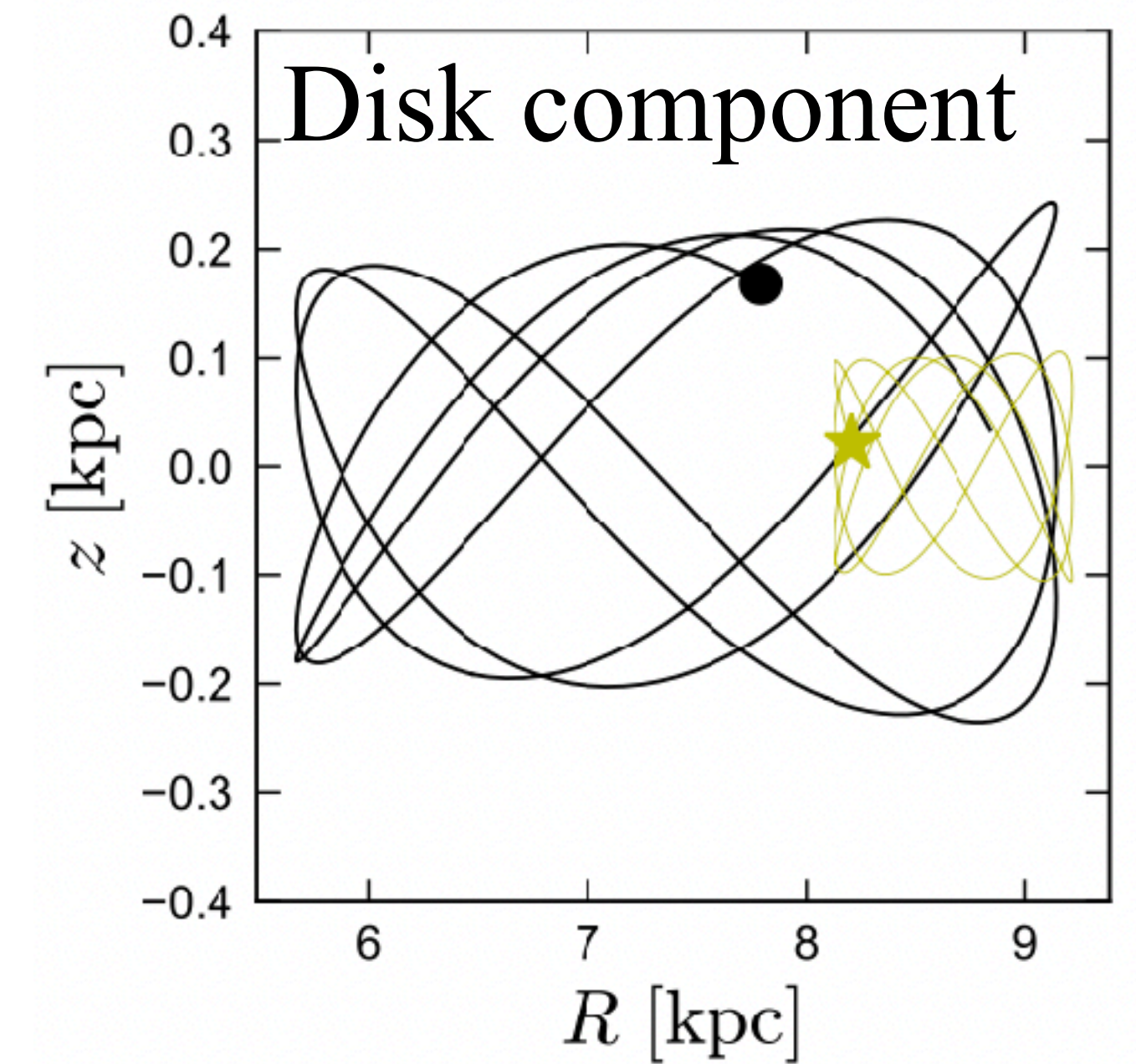
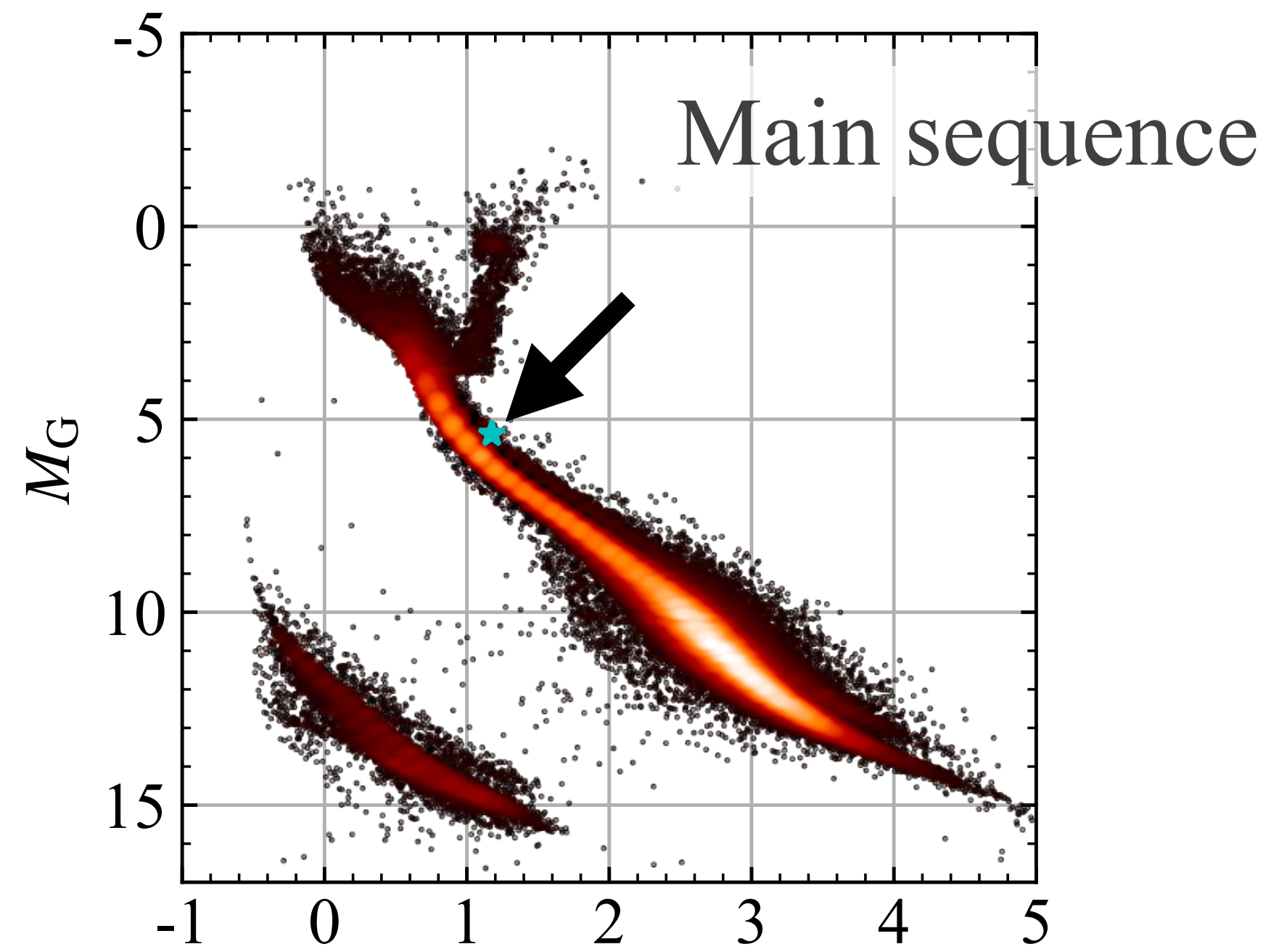
伴星質量の下限を厳しく制限できる (BH/NSを取り逃しにくくする)

概要

- GaiaによるBH/NS連星の探査の基本
- BH/NS探査のモチベーション
- 「不活性」BH/NS連星の発見史
- Gaia BH/NSの形成過程の問題

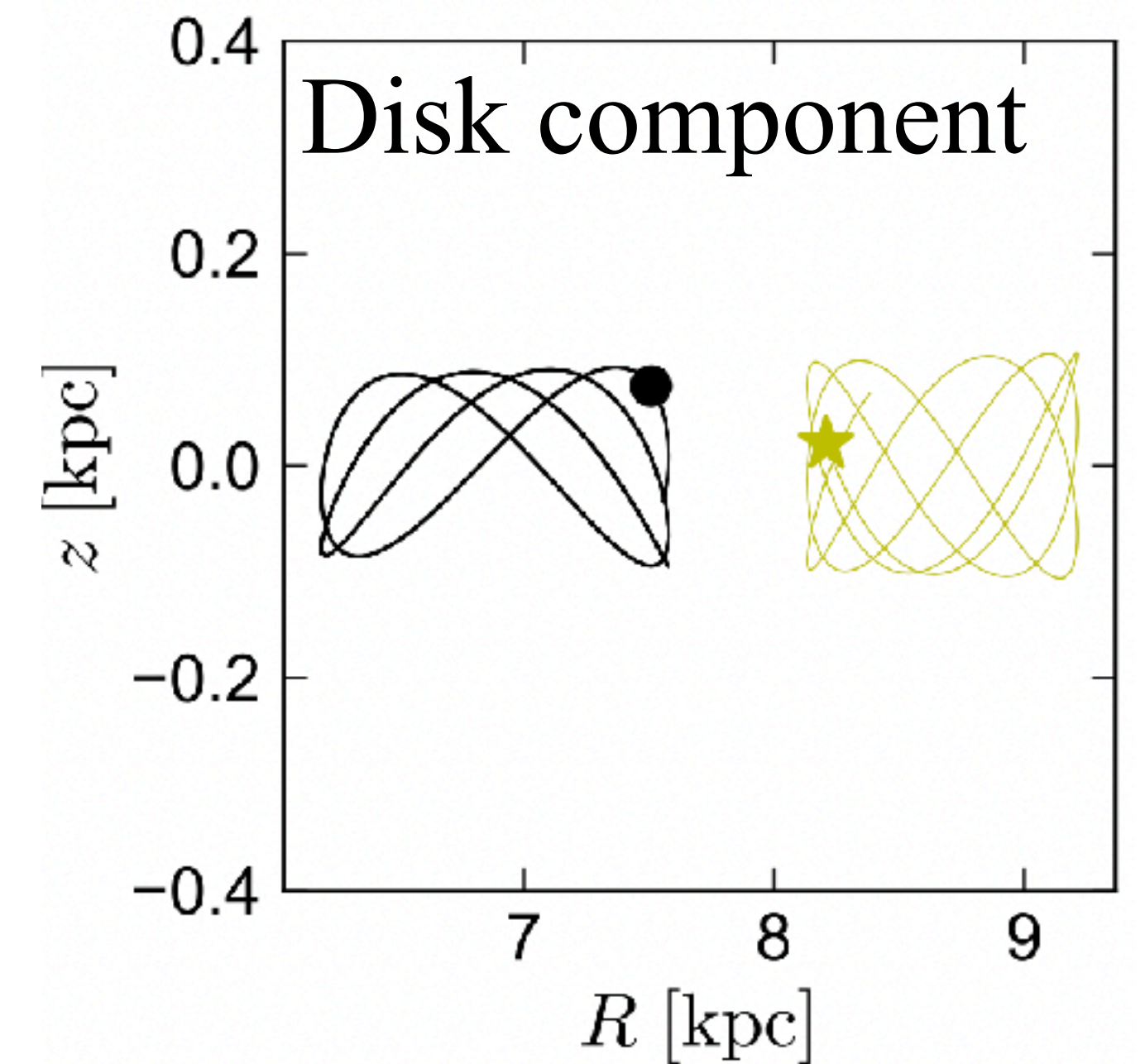
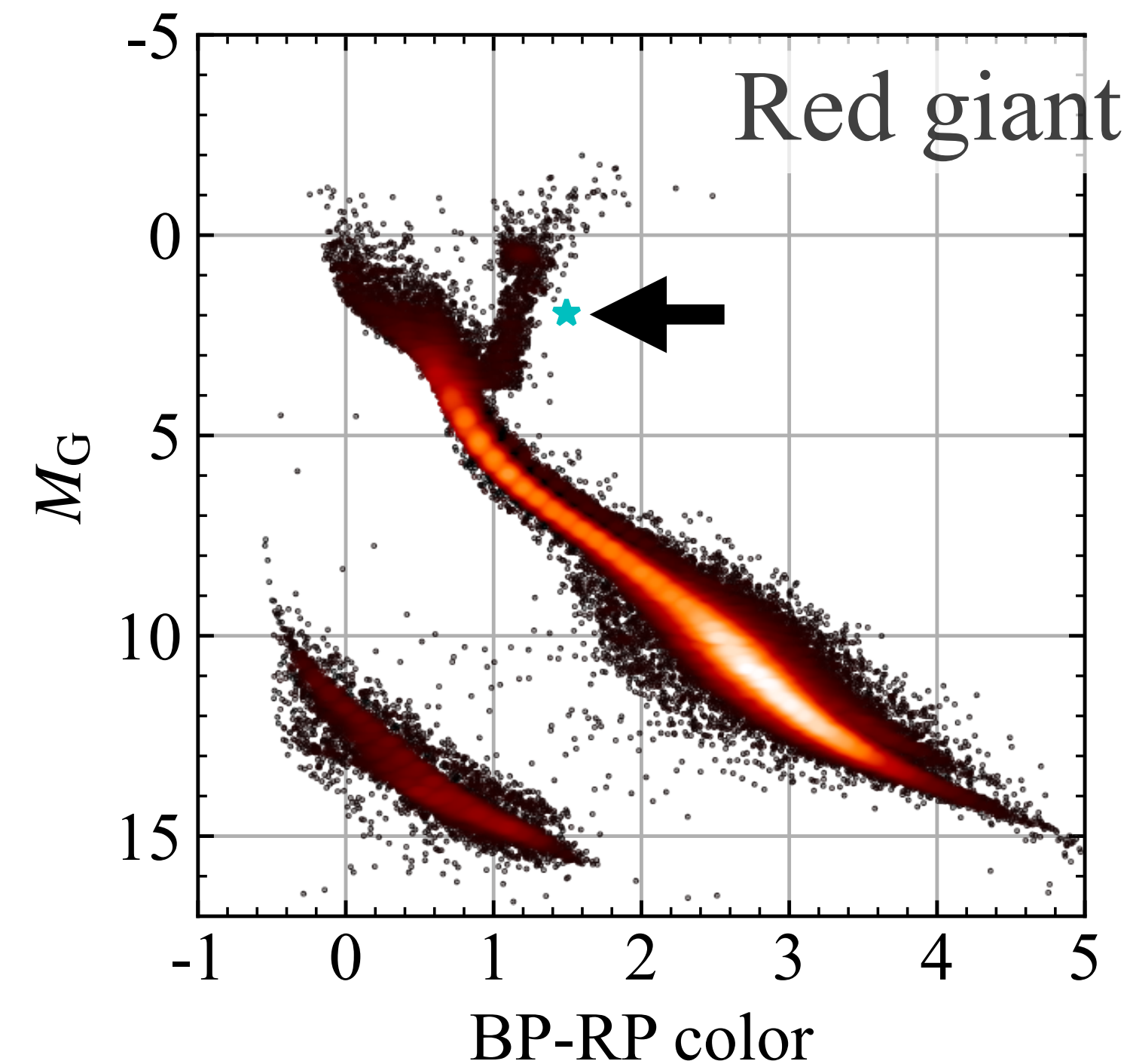
Gaia BH1

- $M_{\text{BH}} = 9.62M_{\odot}$
- $M_{\text{comp}} = 0.93M_{\odot}$
- $P = 185.59$ d
- $a = 1.40$ au
- $e = 0.451$
- $[\text{Fe}/\text{H}] = -0.2$



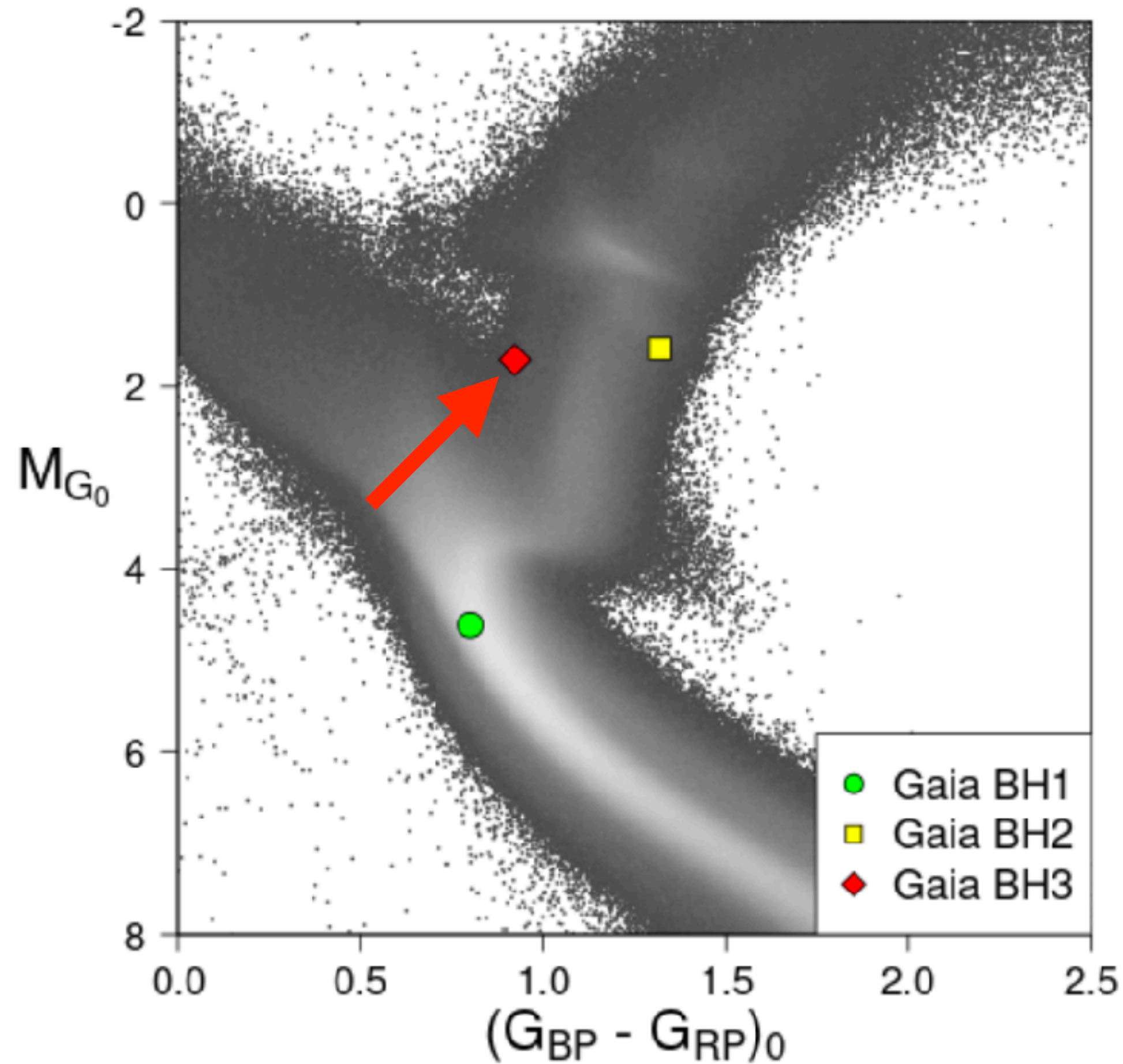
Gaia BH2

- $M_{\text{BH}} = 8.94M_{\odot}$
- $M_{\text{comp}} = 1.07M_{\odot}$
- $P = 1276.7$ d
- $a = 4.96$ au
- $e = 0.5176$
- $[\text{Fe}/\text{H}] = -0.22$

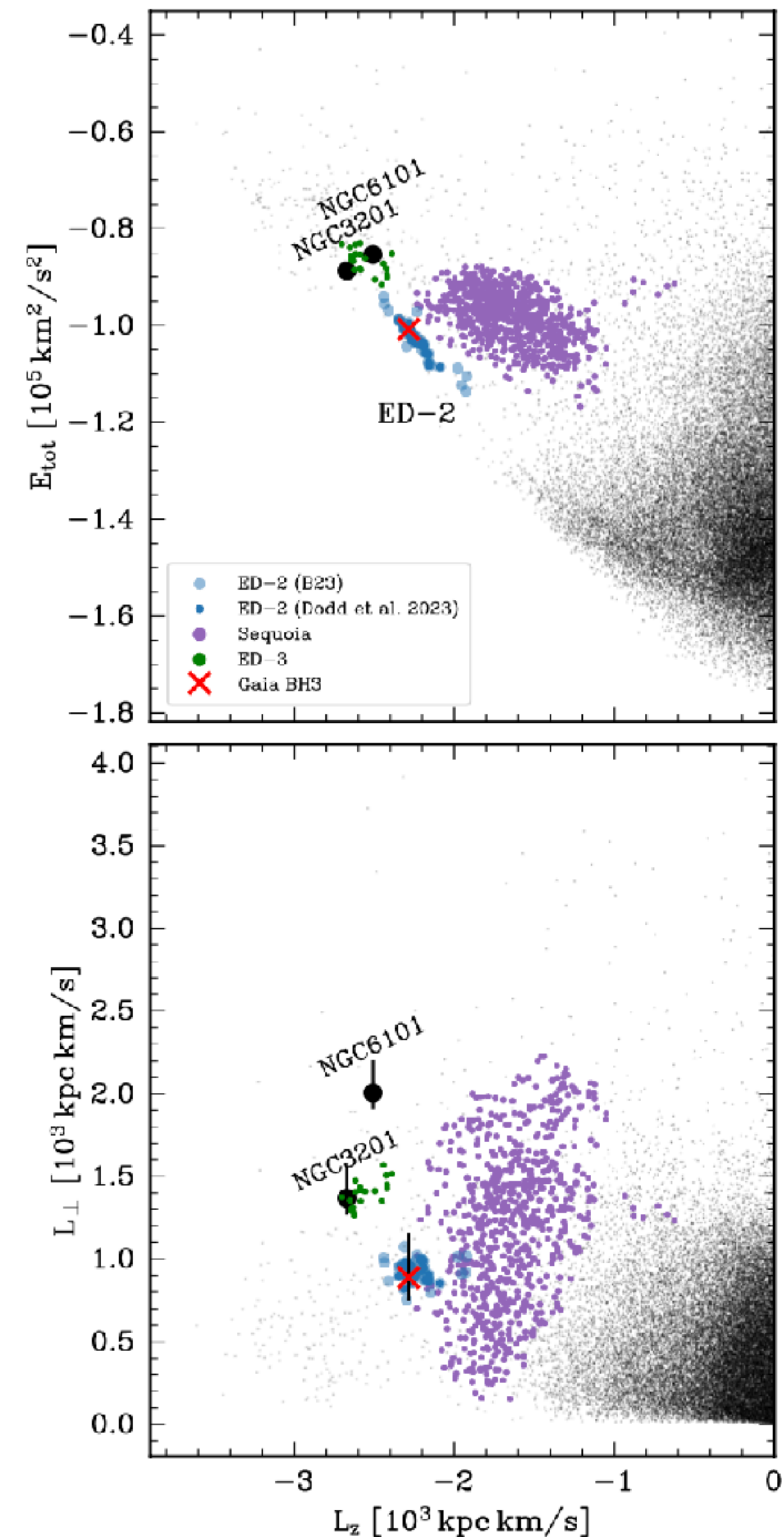


Gaia BH3

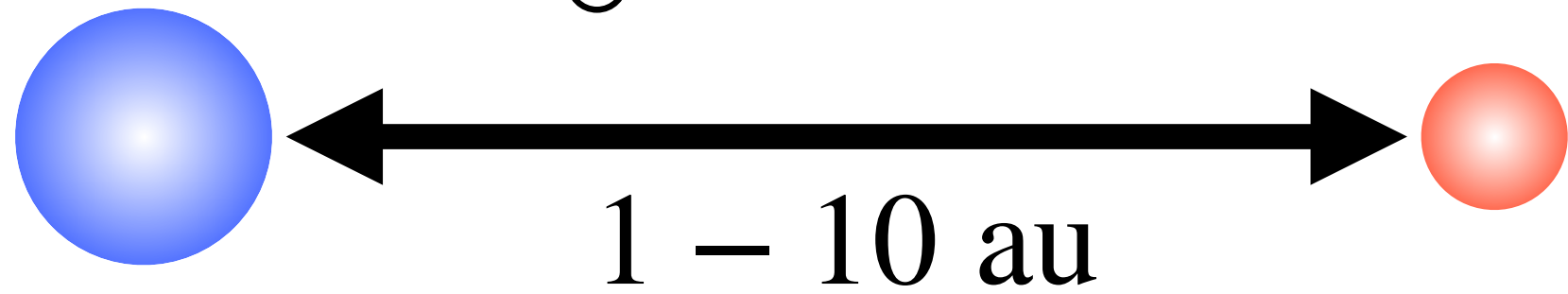
- $M_{\text{BH}} = 32.7M_{\odot}$
- $M_{\text{comp}} = 0.76M_{\odot}$
- $P = 4194.7 \text{ d}$
- $a = 16.4 \text{ au}$
- $e = 0.7262$
- $[\text{Fe}/\text{H}] = -2.56$



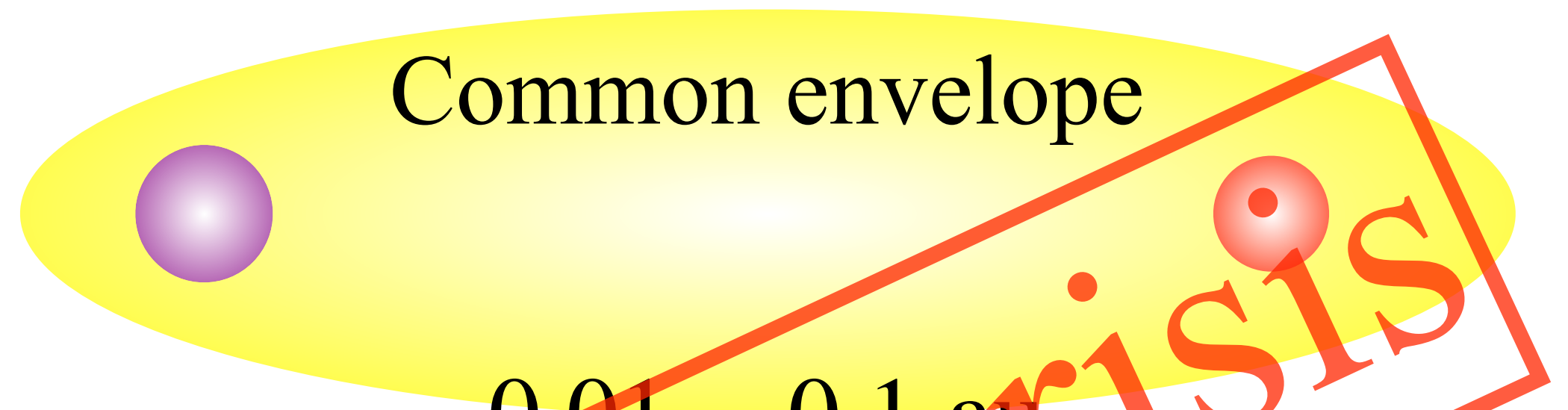
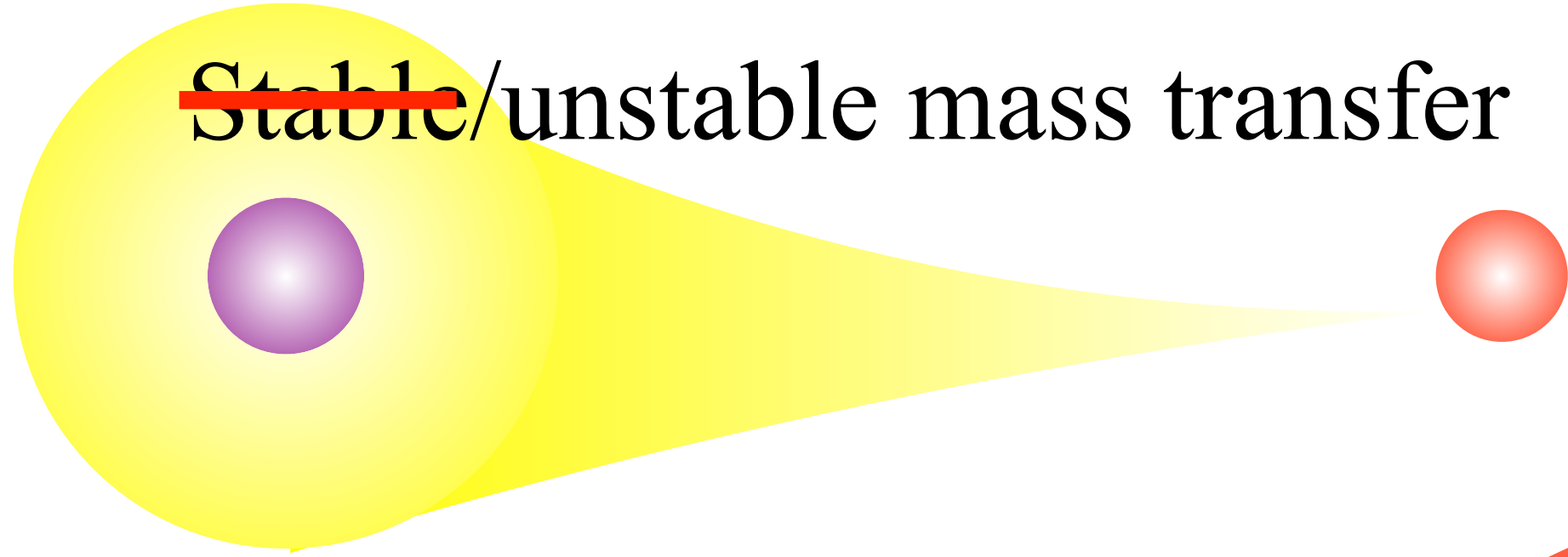
小質量星団の残骸とされる
ED-2 streamの中にある



BH progenitor ($\sim 30M_{\odot}$) Companion ($\sim 1M_{\odot}$)



~~Stable~~/unstable mass transfer

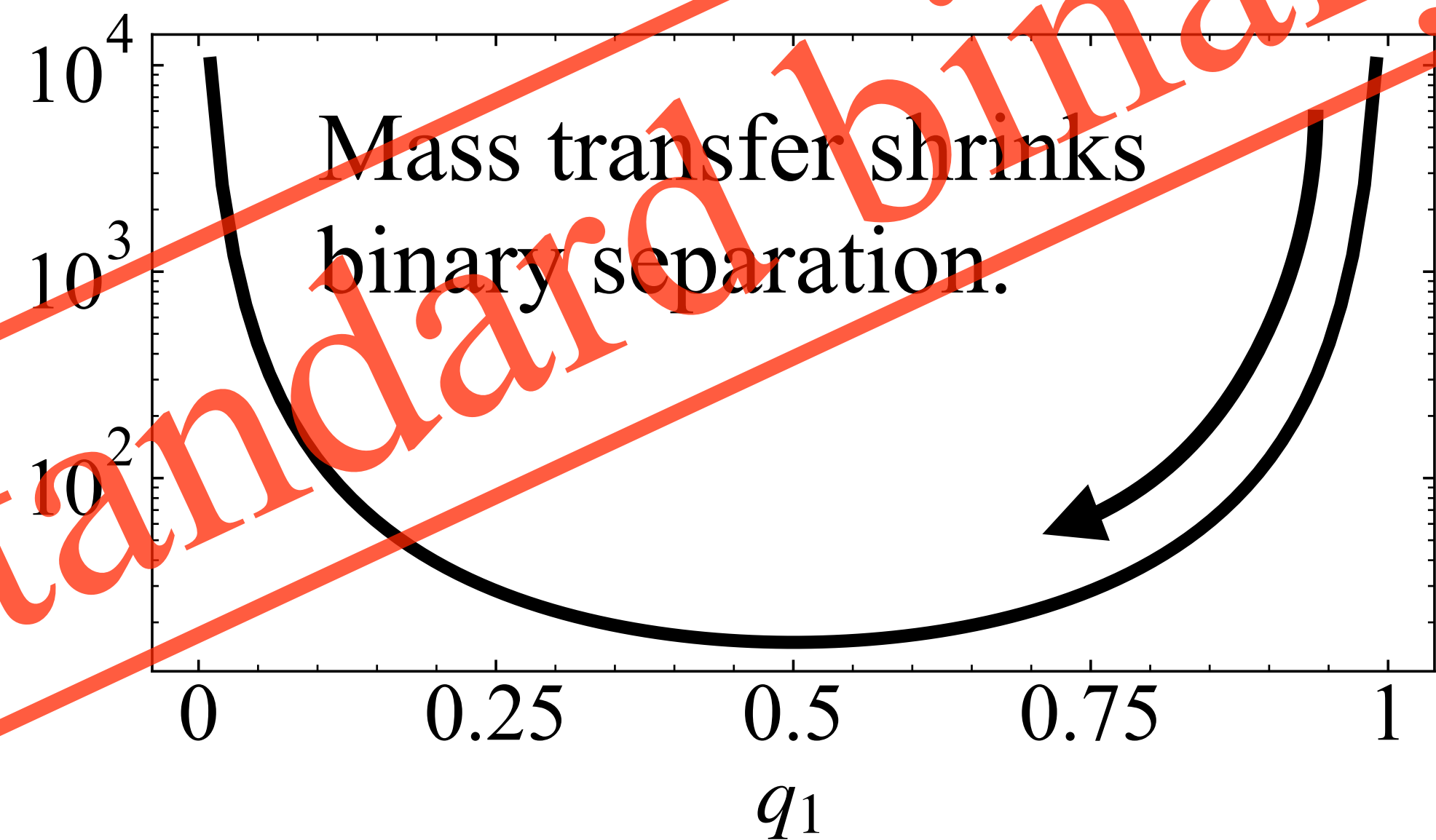


0.01 – 0.1 au

BH ($\sim 10M_{\odot}$)



$$a = \frac{J^2 M}{GM_1^2 M_2^2} = \frac{J^2}{GM^3 q_1^2 (1 - q_1)^2} \quad (q_1 = M_1/M)$$



- $E_{\text{env}} = \alpha_{\text{CE}} (E_{\text{orbit,fin}} - E_{\text{orbit,init}}) \sim \alpha_{\text{CE}} E_{\text{orbit,fin}}$

- $E_{\text{env}} = \frac{GM_{\text{core}} M_{\text{env}}}{\lambda_{\text{CE}} R_{\text{env}}}, E_{\text{orbit}} = \frac{GM_{\text{core}} M_{\text{comp}}}{2a_{\text{orbit}}}$

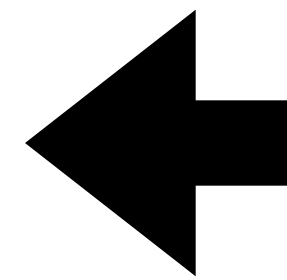
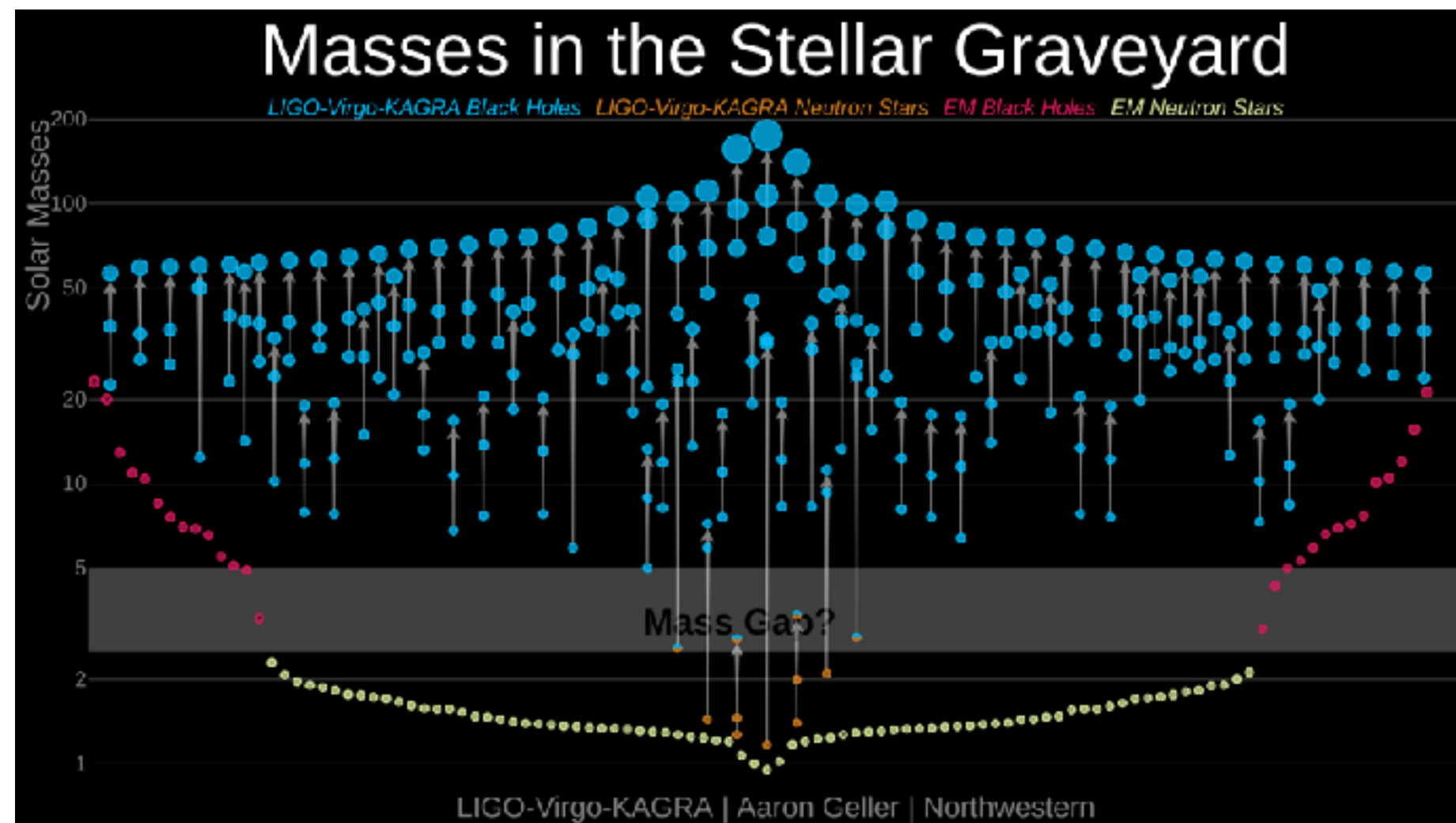
- $a_{\text{orbit,fin}} \sim 0.025 \text{ au} \left(\frac{\alpha_{\text{CE}}}{1.0}\right) \left(\frac{\lambda_{\text{CE}}}{0.1}\right) \left(\frac{M_{\text{comp}}}{1M_{\odot}}\right) \left(\frac{M_{\text{core}}}{10M_{\odot}}\right)^{-1}$

- $\Rightarrow a_{\text{orbit,fin}} \ll a_{\text{GaiaBH}} \sim 1 \text{ au}$

- $\Rightarrow \alpha_{\text{CE}} > 10$ is required, but it is difficult for this pair (private communication with Ryosuke Hirai)

Standard binary model in crisis

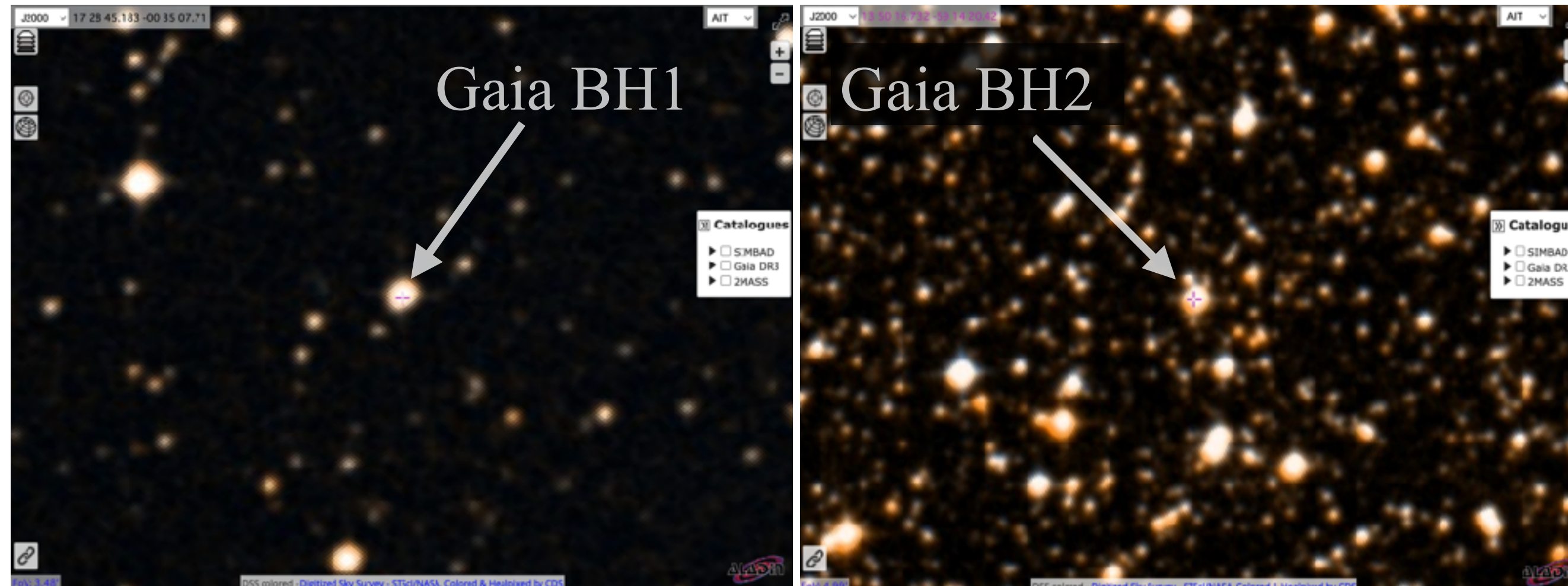
The origin of Gaia BHs



- Binary (Pop I/II, Pop III)
- Triple/Quadruple (Pop I/II, Pop III)
- Open cluster
- Globular cluster
- Galactic center/AGN disk
- Primordial BH

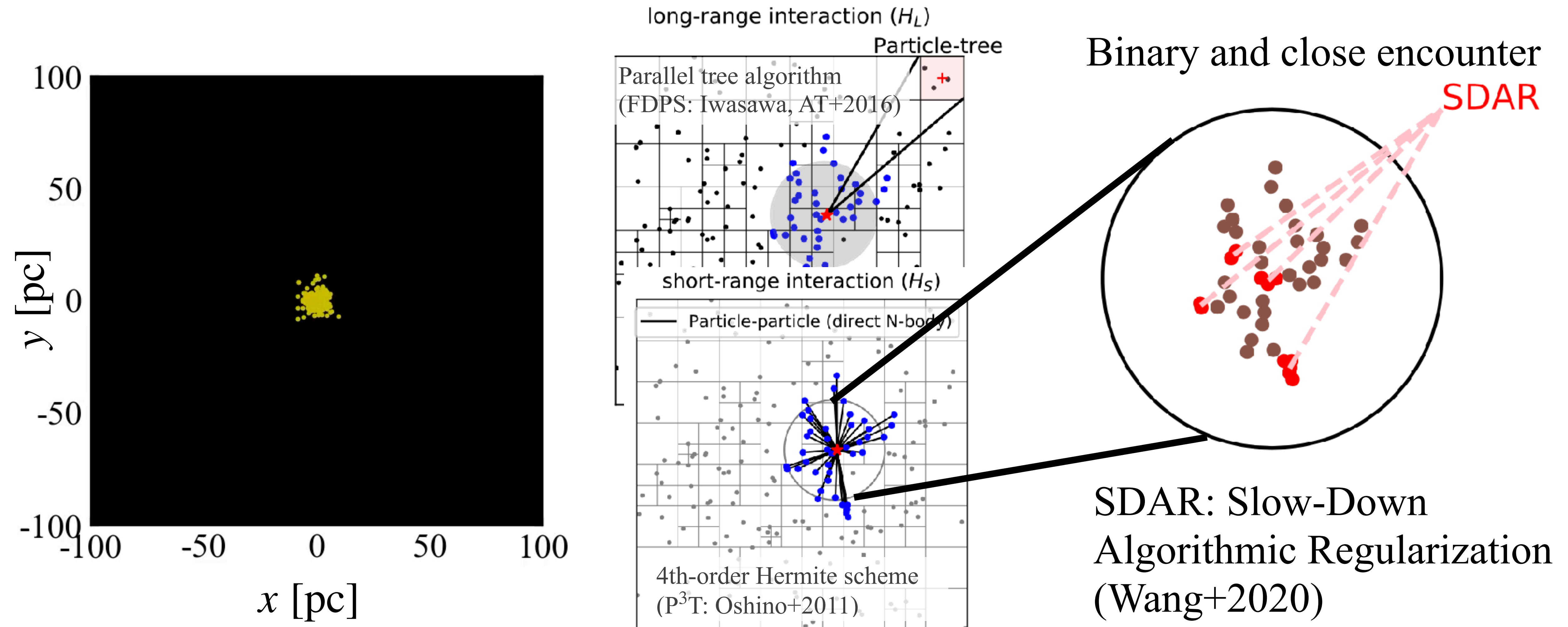
∴ Previous slide ∴ Companion's metallicity

- ~~Binary (Pop I/II, Pop III)~~
- ~~Triple/Quadruple (Pop I/II, Pop III)~~
- Open cluster
- ~~Globular cluster~~ ∴ Disk components
- ~~Galactic center/AGN disk~~
- ~~Primordial BH~~ ∴ Small capture rate



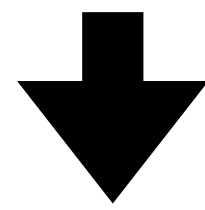
N-body simulation for open clusters

PeTar (Wang et al. 2020)

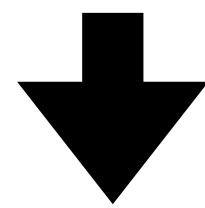


Slow-Down Algorithmic Regularization: SDAR (Wang+2020)

$$F_{j \rightarrow i} = \frac{Gm_i m_j (\vec{r}_j - \vec{r}_i)}{[(\vec{r}_j - \vec{r}_i)^2 + \epsilon^2]^{3/2}}$$

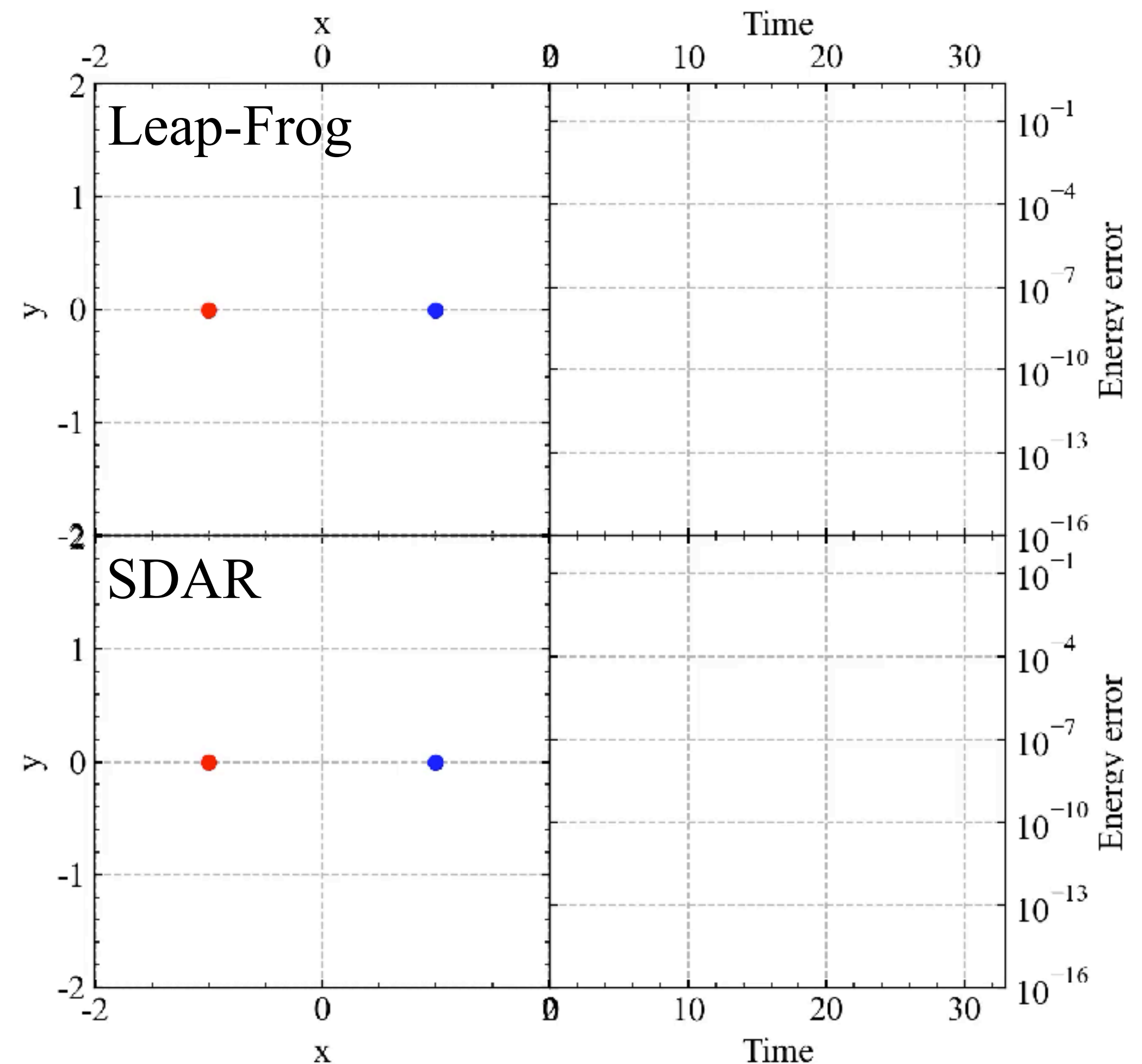


Singularity at zero distance



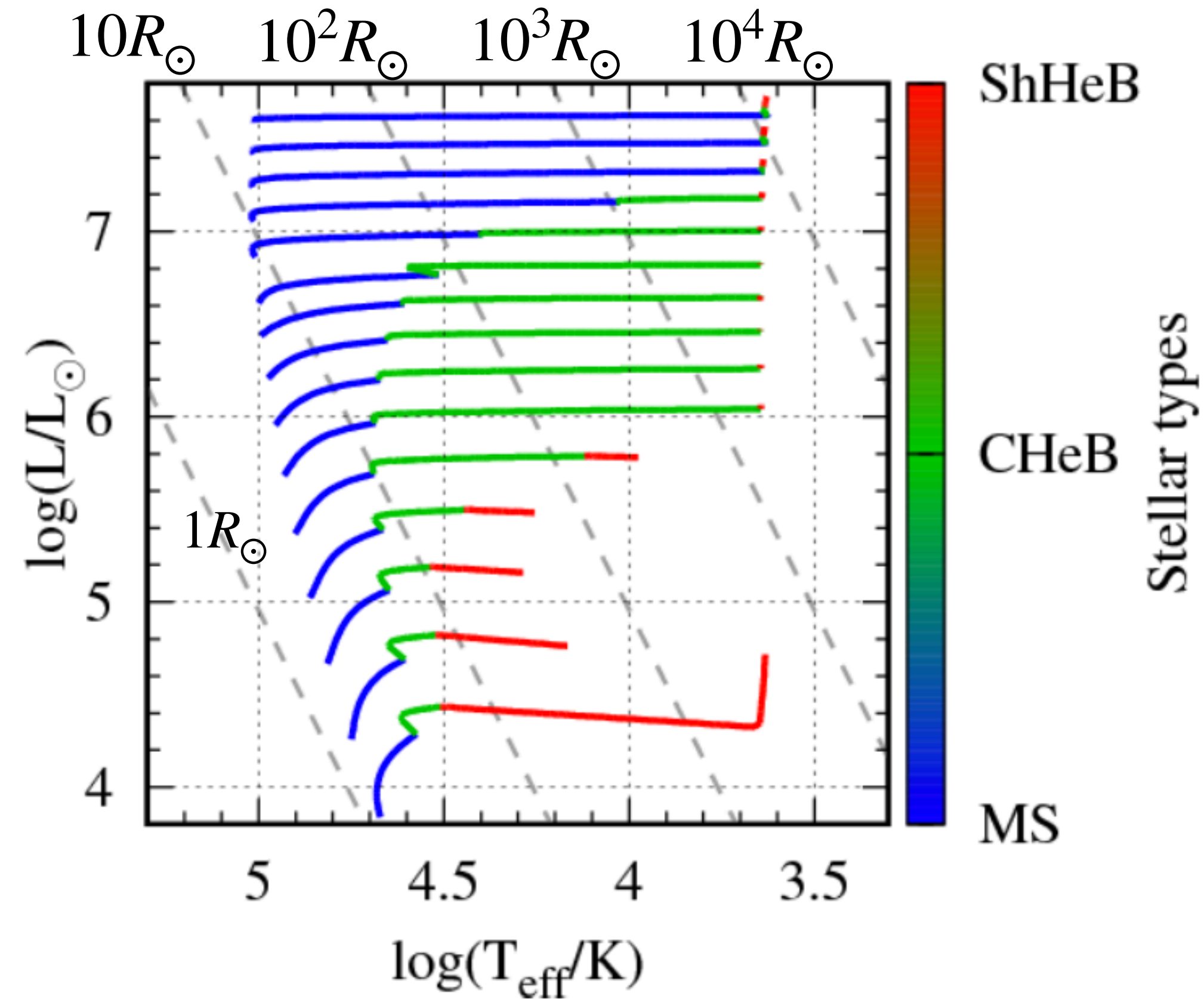
Regularization

- KS regularization (Kustaanheimo-Stiefel 1965)
- **Algorithmic regularization (Mikkola, Tanikawa 1999)**

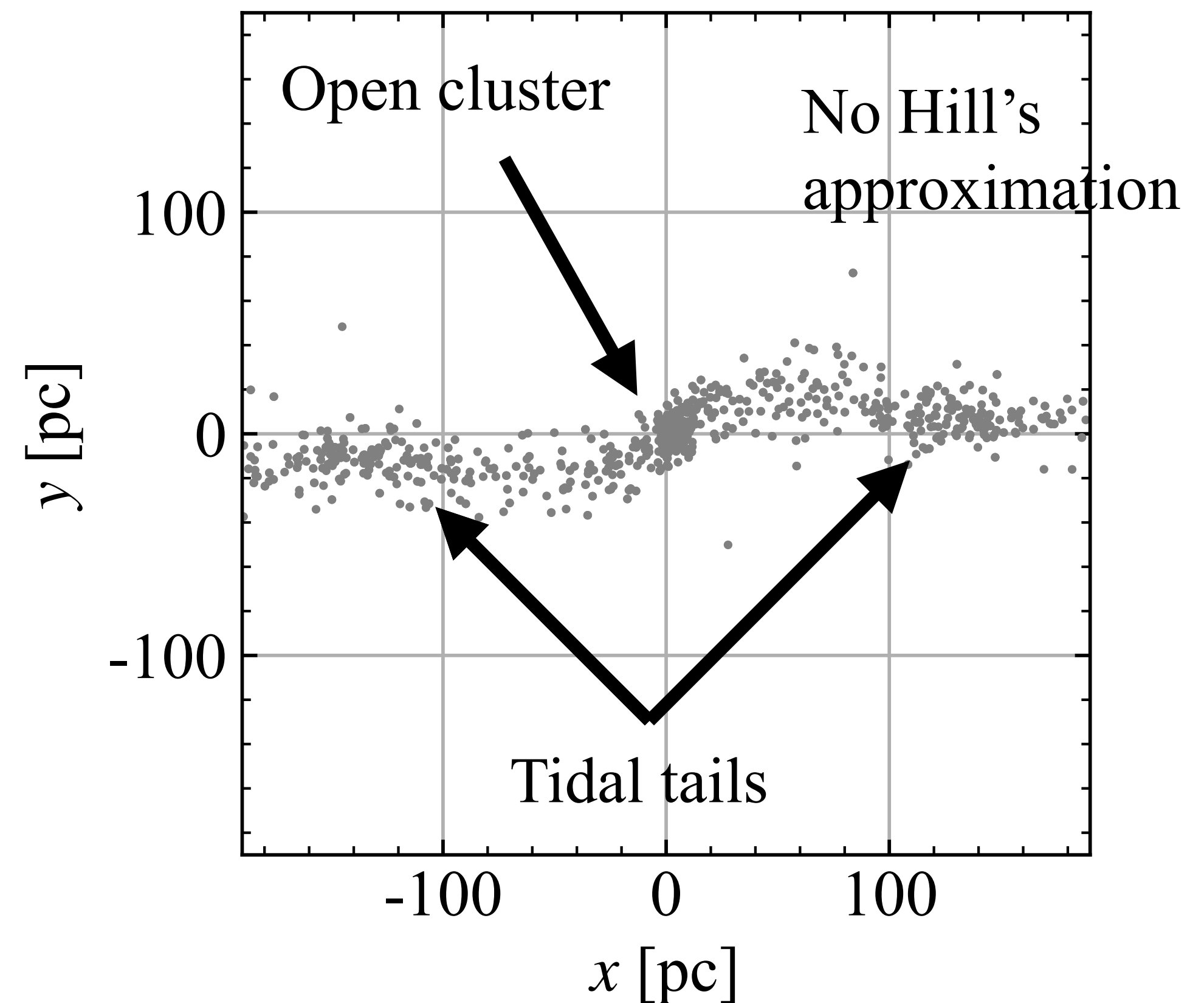


Physical effects

Single/Binary star evolution
(BSEEMP: AT+20)



Galactic potential
(GALPY: Bovy12)



Initial conditions of open clusters

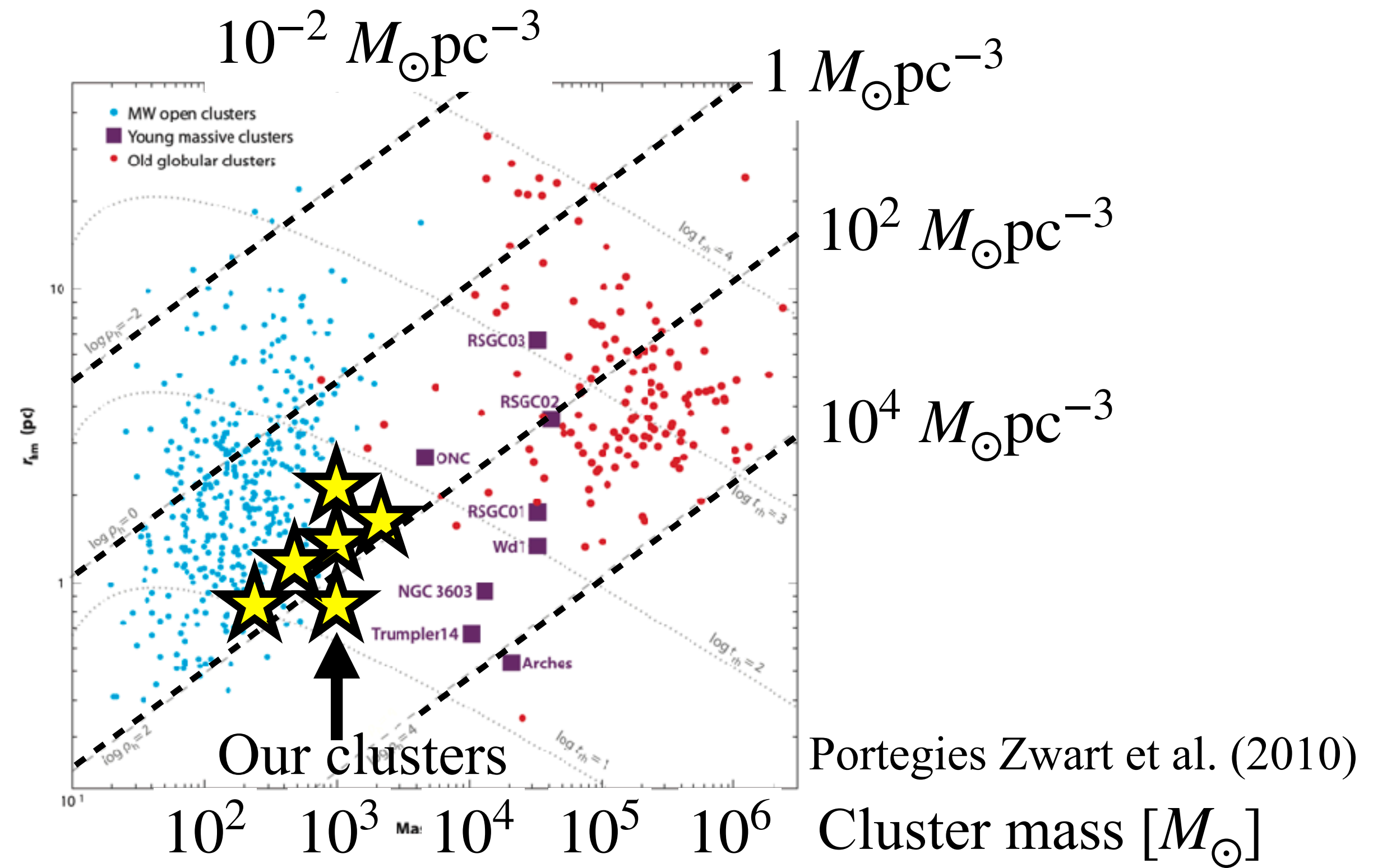
- Cluster mass: $200 - 2000 M_{\odot}$
- $Z=0.0002-0.02$
- Global density: $2 - 200 M_{\odot} \text{pc}^{-3}$
- Binary fraction: 0, 20, 50%
- No CCSN kick
- Initial binary stars

$10^7 M_{\odot}$ in total
for each set

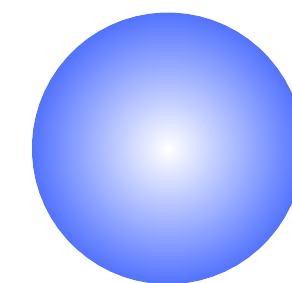
- Primary star: Kroupa's IMF

• $f(m_2/m_1) \propto (m_2/m_1)^{-0.1}$ ($0.1 \leq m_2/m_1 \leq 1$)

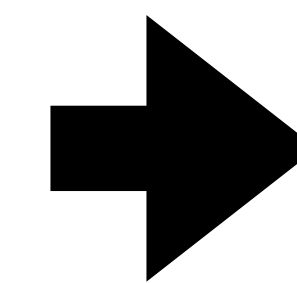
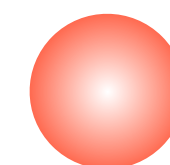
Gaia BHs could not be formed
without dynamical interactions.



$10 M_{\odot}$



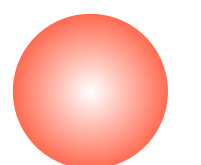
$1 M_{\odot}$



NS



$1 M_{\odot}$



Criteria of Gaia BHs

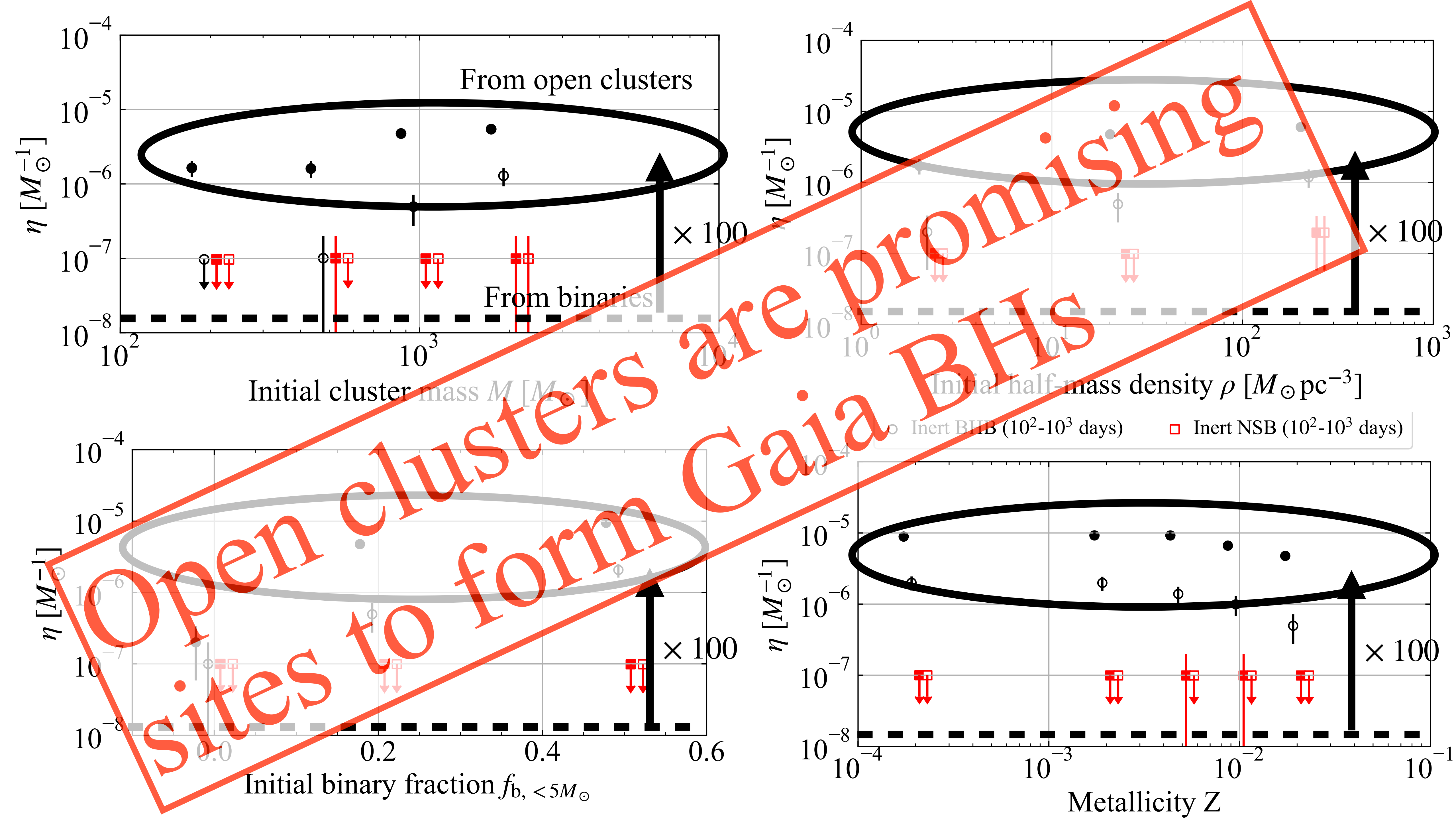
MS, PMS, He star
(Gaia BH: MS, PMS)

$$m_1 \leq 1.1M_{\odot}$$

$$10^2 \leq P/\text{day} \leq 10^4$$

$$0 \leq e \leq 1$$





The number of Gaia BHs in Milky Way

$\sim 10^{-6} M_{\odot}^{-1}$ for clusters with reasonable mass,
density and binary fraction

$$N_{\text{GaiaBH,MW}} \sim 6 \times 10^3 \left(\frac{\eta}{10^{-6} M_{\odot}^{-1}} \right) \left(\frac{M_{\text{MW}}}{6.1 \times 10^{10} M_{\odot}} \right) \left(\frac{f_{\text{cluster}}}{0.1} \right)$$

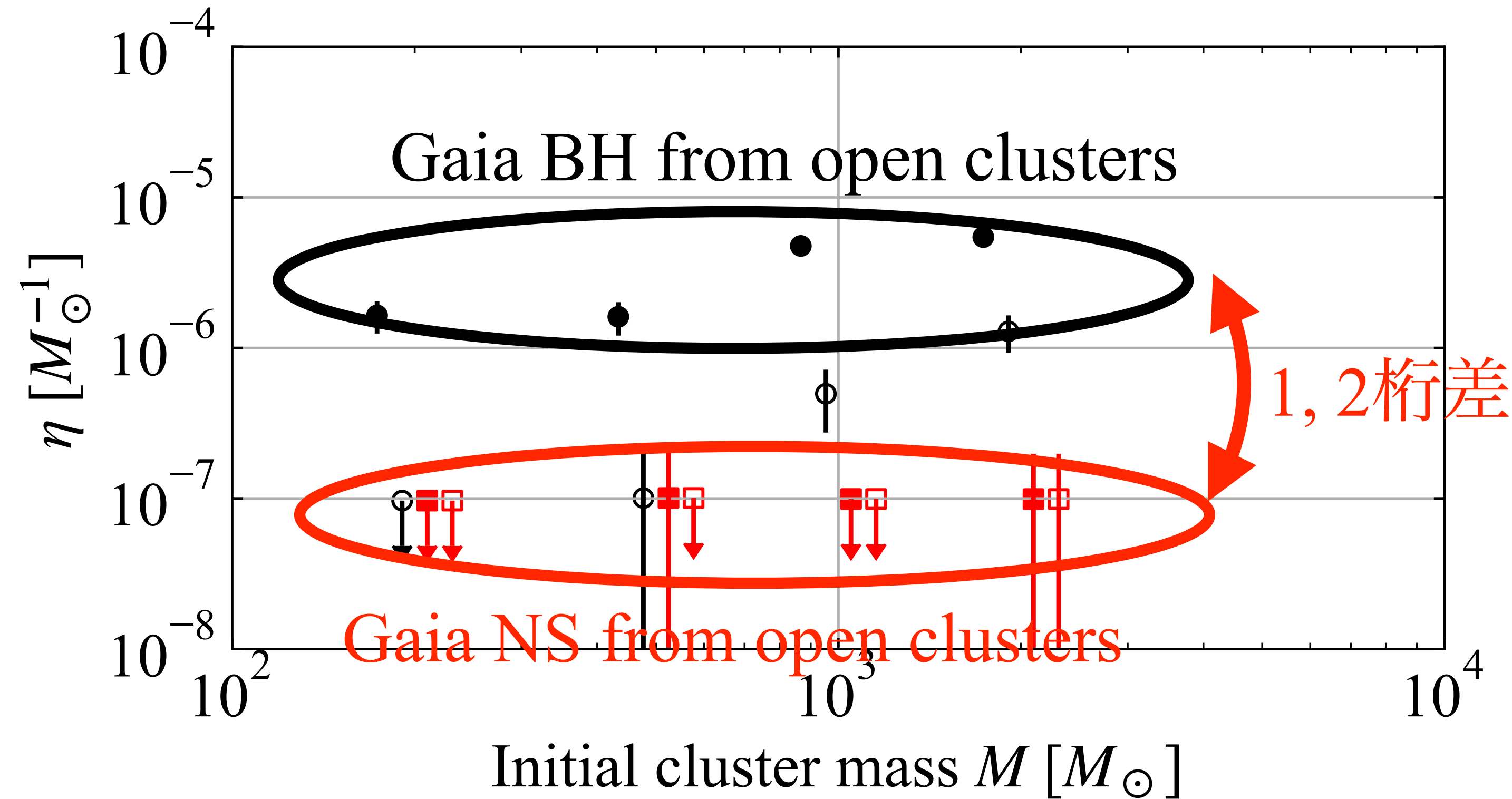
Sufficiently large to explain the presence of Gaia BHs

Gaia NS

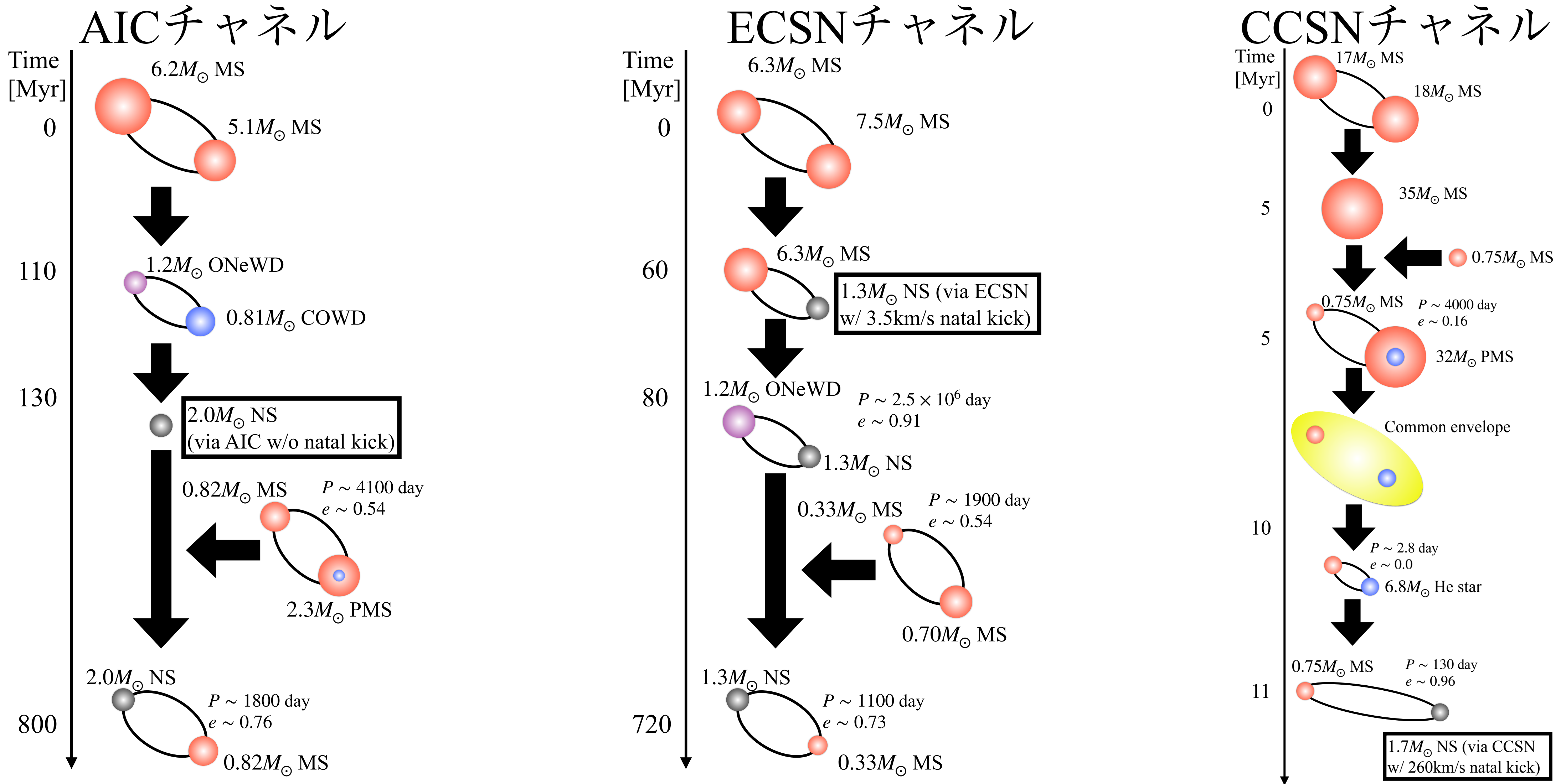
Name	P_{orb} [days]	M_{\star} [M_{\odot}]	M_2 [M_{\odot}]	eccentricity	ϖ [mas]	G [mag]	N_{RVs}	Name	[Fe/H], High-res
J0553-1349	189.10 ± 0.05	0.98 ± 0.06	1.33 ± 0.05	0.3879 ± 0.0007	2.505 ± 0.015	13.00	20	J0553-1349	0.12 ± 0.07
J2057-4742	230.15 ± 0.07	1.048 ± 0.031	1.31 ± 0.04	0.3095 ± 0.0026	1.745 ± 0.019	13.58	11	J2057-4742	0.13 ± 0.08
J1553-6846	310.17 ± 0.11	1.04 ± 0.05	1.323 ± 0.032	0.5314 ± 0.0021	1.344 ± 0.012	14.19	16	J1553-6846	0.13 ± 0.10
J2102+3703	480.9 ± 0.6	1.03 ± 0.03	1.44 ± 0.04	0.432 ± 0.017	1.520 ± 0.014	13.70	9	J2102+3703	-0.37 ± 0.08
J0742-4749	497.6 ± 0.4	0.90 ± 0.05	1.28 ± 0.04	0.168 ± 0.004	1.035 ± 0.014	14.60	8	J0742-4749	-0.13 ± 0.12
J0152-2049	536.14 ± 0.18	0.782 ± 0.03	1.291 ± 0.024	0.6615 ± 0.0010	2.453 ± 0.017	12.05	15	J0152-2049	-1.28 ± 0.08
J0003-5604	561.83 ± 0.29	0.802 ± 0.03	1.34 ± 0.04	0.795 ± 0.005	2.183 ± 0.016	14.48	12	J0003-5604	-0.09 ± 0.08
J1733+5808	570.94 ± 0.31	1.16 ± 0.05	1.362 ± 0.030	0.3093 ± 0.0010	1.452 ± 0.010	13.65	13	J1733+5808	0.17 ± 0.10
J1150-2203	631.80 ± 0.23	1.18 ± 0.06	1.39 ± 0.04	0.553 ± 0.004	1.738 ± 0.016	12.66	19	J1150-2203	0.42 ± 0.07
J1449+6919	632.76 ± 0.22	0.91 ± 0.05	1.261 ± 0.032	0.2635 ± 0.0013	1.812 ± 0.012	13.20	16	J1449+6919	-0.65 ± 0.09
J0217-7541	636.1 ± 0.7	0.996 ± 0.033	1.396 ± 0.033	0.3228 ± 0.0033	1.193 ± 0.012	14.01	10	J0217-7541	0.14 ± 0.10
J0639-3655	654.6 ± 0.6	1.32 ± 0.06	1.70 ± 0.07	0.721 ± 0.013	1.130 ± 0.011	13.36	10	J0639-3655	0.04 ± 0.10
J1739+4502	657.4 ± 0.6	0.778 ± 0.03	1.38 ± 0.04	0.6770 ± 0.0019	1.126 ± 0.013	13.52	16	J1739+4502	-1.82 ± 0.10
J0036-0932	719.8 ± 0.9	0.94 ± 0.04	1.362 ± 0.034	0.3993 ± 0.0021	1.661 ± 0.019	13.02	16	J0036-0932	-0.42 ± 0.10
J1432-1021	730.9 ± 0.5	0.790 ± 0.03	1.898 ± 0.030	0.1203 ± 0.0022	1.367 ± 0.011	13.34	33	J1432-1021	-1.29 ± 0.11
J1048+6547	814.2 ± 3.4	1.00 ± 0.05	1.68 ± 0.07	0.381 ± 0.016	0.899 ± 0.012	14.52	8	J1048+6547	-0.14 ± 0.11
J2145+2837	889.8 ± 1.2	0.95 ± 0.05	1.40 ± 0.04	0.583 ± 0.010	4.135 ± 0.017	12.19	10	J2145+2837	-0.03 ± 0.06
J2244-2236	938.3 ± 0.5	1.002 ± 0.03	1.443 ± 0.023	0.5666 ± 0.0011	2.079 ± 0.019	13.35	13	J2244-2236	0.06 ± 0.08
J0824+5254	1027 ± 4	1.100 ± 0.03	1.603 ± 0.035	0.686 ± 0.013	1.643 ± 0.015	13.59	12	J0824+5254	0.27 ± 0.10
J0230+5950	1029 ± 5	1.114 ± 0.03	1.401 ± 0.034	0.753 ± 0.011	2.523 ± 0.015	13.09	15	J0230+5950	0.15 ± 0.08
J0634+6256	1046.0 ± 2.1	1.18 ± 0.06	1.48 ± 0.09	0.564 ± 0.011	0.689 ± 0.019	14.62	10	J0634+6256	-0.03 ± 0.11

But, Gaia NS?

- Gaia BHの数は3、Gaia NSの数は21
- 散開星団ではGaia BHのほうが10-100倍以上効率よく形成
- しかもGaia BHのほうが見つけやすいはず (明るい星を大きく動かすため)
- Gaia BHの発見数がGaia NSの発見数より少ないのはおかしい \Rightarrow **散開星団でGaia BHとGaia NSを両方作ることはできない**
- ありうるシナリオ
 - Gaia BHは散開星団、Gaia NSは三重星
 - なんか未知の孤立連星チャンネル
 - e.g. Neutron star kicks plus rockets (Hirai et al. 2024)

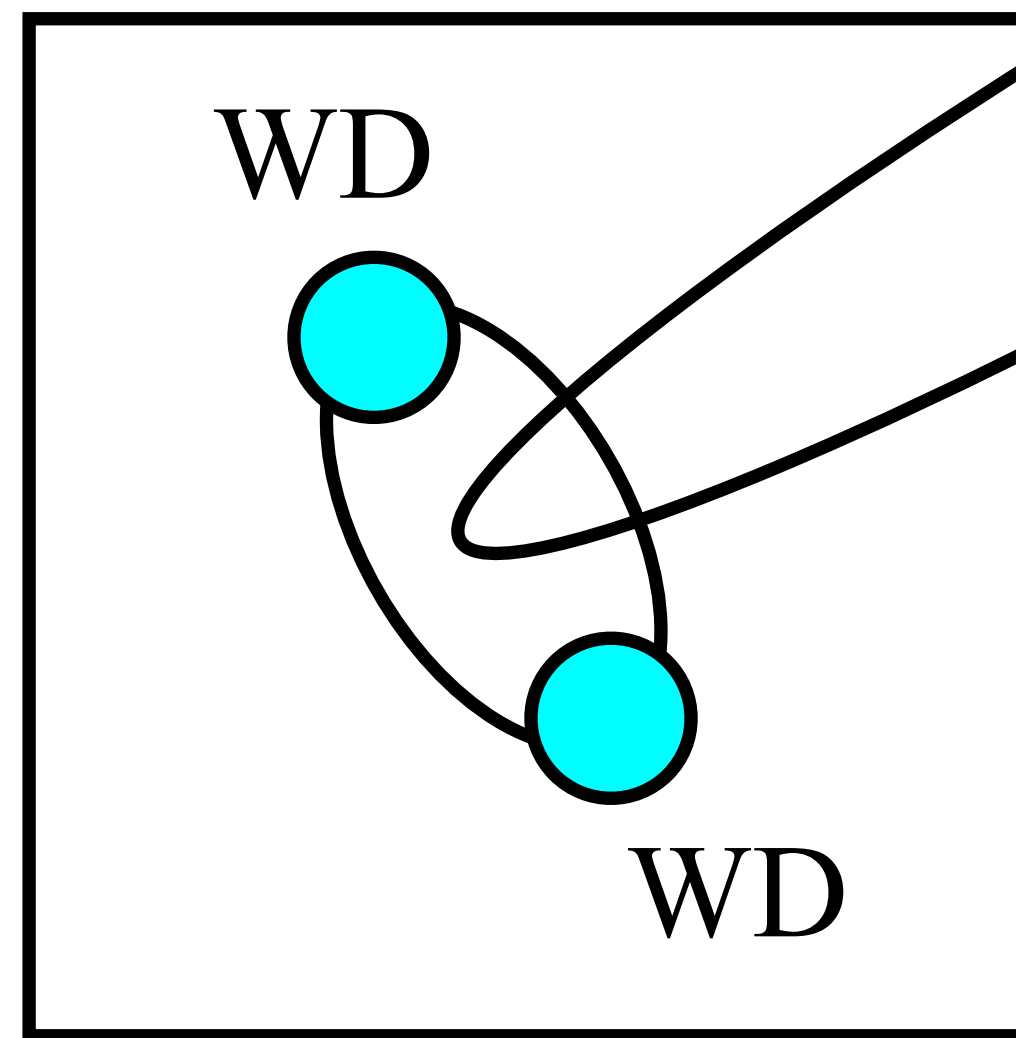


星団内でGaia NS形成しやすくしている



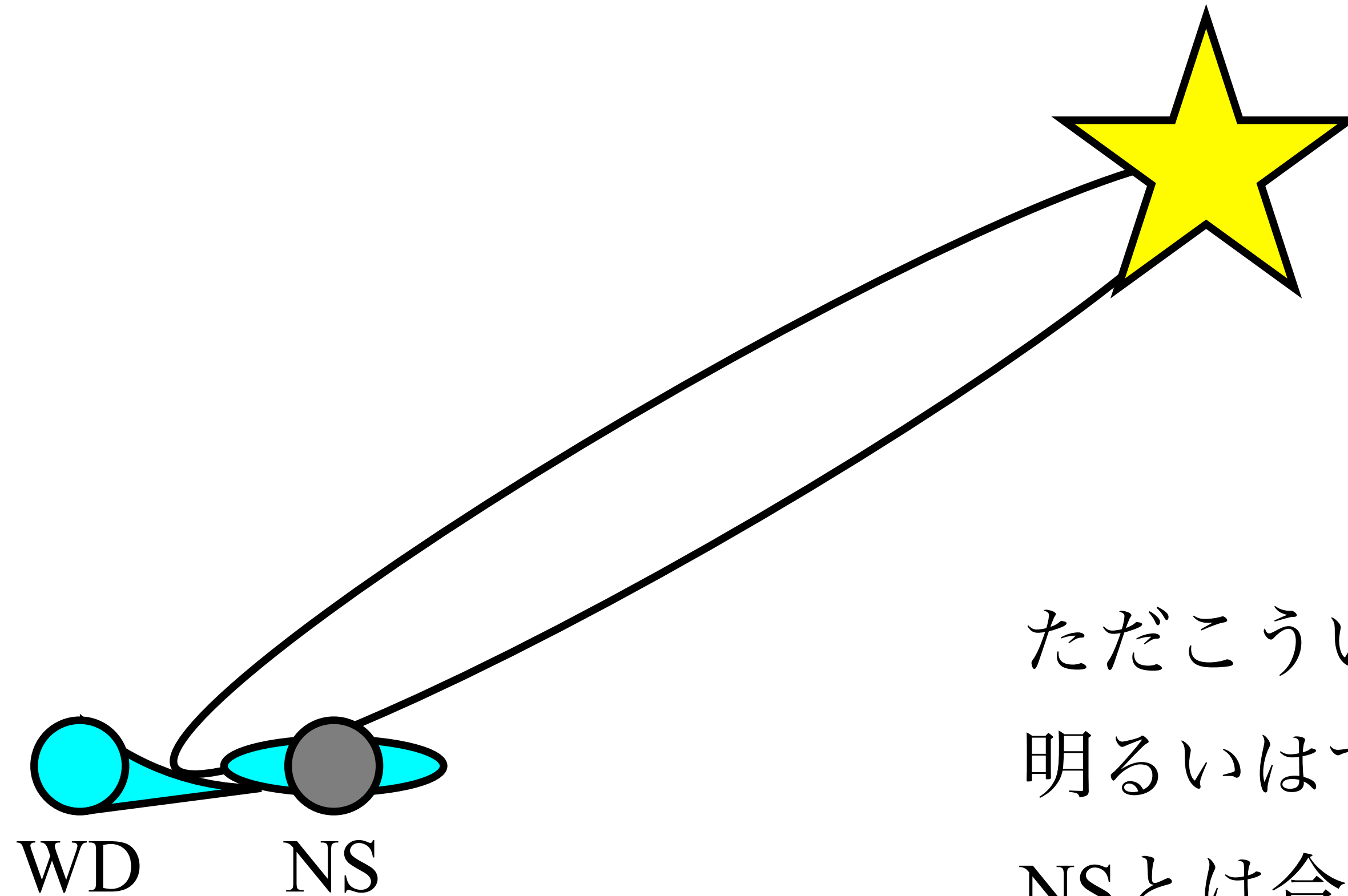
こういうのもなかった

全質量 $\gtrsim 1.4M_{\odot}$



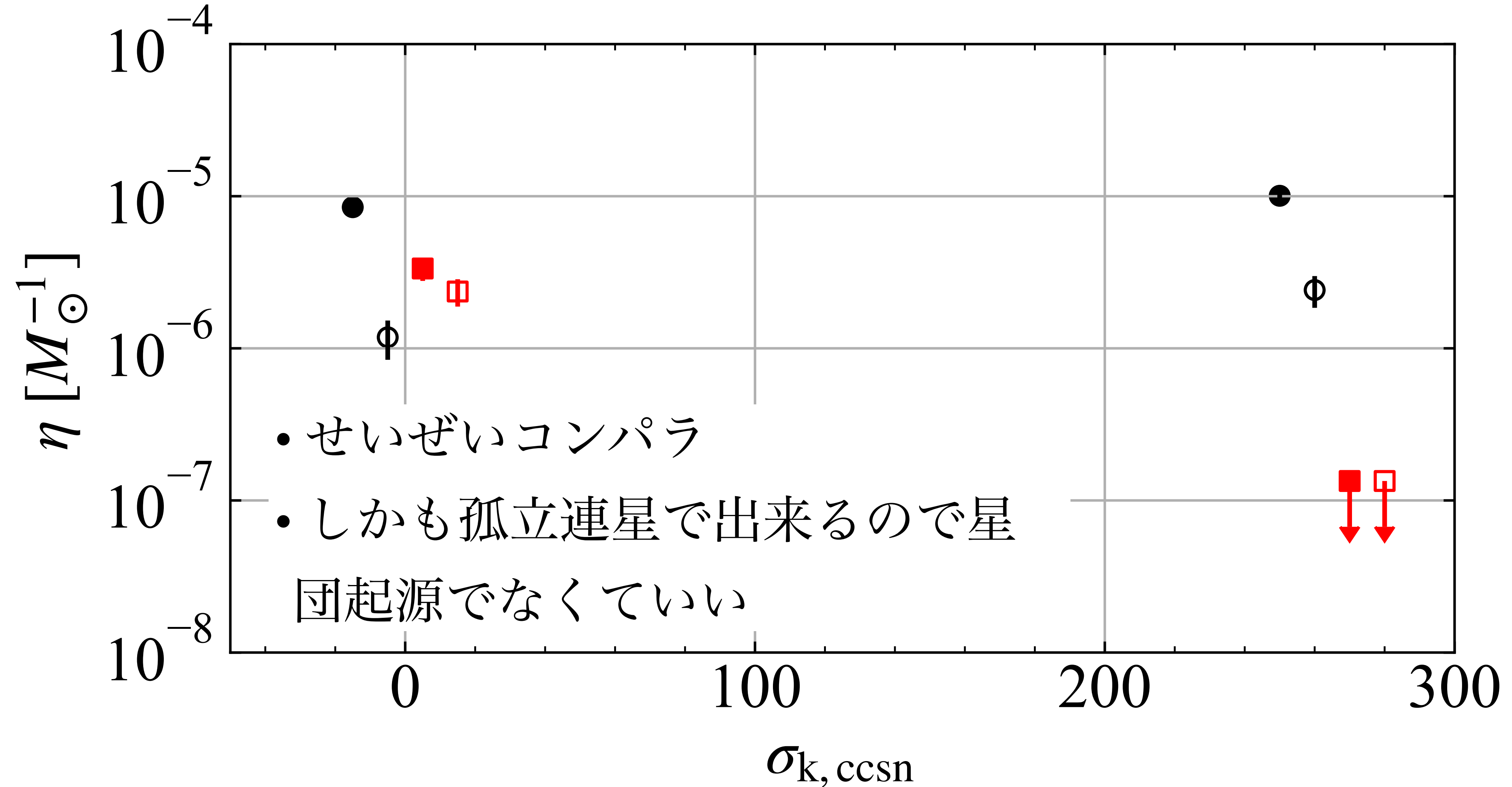
Gaia NSはinner WD-WDの
可能性を否定できていない
ので、こういうものが無い
ことを確認するのは重要

こういうものはあった



ただこういうものはX線で
明るいはずなので、Gaia
NSとは合わない

キックをゼロにしても意味なし



まとめ

- Gaia DR3の登場によって、BH/NS連星の新たなパラメータスペース（軌道周期 $10^2 - 10^4$ 日）が切り開かれつつある。
- Gaia BHの形成は星団での力学的捕獲でも良い。
- Gaia NSの形成は星団での力学的捕獲 **ではない**。